

**Івано-Франківський національний технічний університет  
нафти і газу**

Інститут інженерної механіки та робототехніки  
Кафедра комп'ютеризованого машинобудування

Тимчук Віталій Ігорович

(прізвище, ім'я, по батькові)

УДК 621.9  
(індекс)

**БАКАЛАВРСЬКА РОБОТА**

Тема: «Розроблення технологічного процесу виготовлення деталі «Вал-шестерня ПМК-584.00.000»».

(назва роботи)

Прикладна механіка

(назва освітньої програми)

131- Прикладна механіка

(шифр і назва спеціальності)

Тимчук В.І.

(підпис, ініціали та прізвище здобувача освітнього ступеня)

Науковий керівник Гнилиця І.Д. доц. каф. КМВ

(прізвище, ім'я, по батькові, науковий ступінь, вчене звання)

**Допущено до захисту**

Завідувач кафедри

професор

(посада)

(підпис)

(дата)

В.Г. Панчук

(ініціали та прізвище)

**Рецензент**

(посада)

(підпис)

(дата)

(ініціали та прізвище)

Робота містить результати власних розробок. Використання ідей, результатів і текстів інших авторів мають посилання на відповідне джерело

м.Івано-Франківськ-2025 рік

## РЕФЕРАТ

кваліфікаційної бакалаврської роботи: «Технологічний процес виготовлення деталі «Вал-шестерня ПМК-584.00.000 » для умов середньосерійного типу виробництва»

Розрахунково-пояснювальна записка: сторінок, рисунків, таблиць, посилань, аркушів ф. А4 додатків.

Графічна частина: аркуші формату А1.

Об'єкт дослідження – технологічний процес механічної обробки.

Предмет дослідження - деталь “ ПМК-584.00.000 ”.

Метою роботи є розробка раціонального технологічного процесу виготовлення деталі типу корпус, адаптованого до умов середньосерійного виробництва з урахуванням сучасних вимог щодо точності, якості обробки та економічної ефективності.

У процесі виконання роботи проведено конструкторсько-технологічний аналіз заданої деталі з оцінкою її технологічності. Визначено оптимальну форму заготовки та найбільш доцільний метод її отримання. Розроблено раціональний технологічний маршрут обробки із застосуванням сучасного металообробного устаткування, зокрема верстатів з числовим програмним керуванням (ЧПК).

З метою забезпечення точного та надійного закріплення деталі під час обробки було спроектовано спеціальний верстатний пристрій. Проведено розрахунок сили затиску та перевірку умов надійності кріплення відповідно до вимог міцності. У завершальній частині бакалаврської роботи розроблено програму токарної обробки деталі типу «Вал-шестерня» для верстата з числовим програмним керуванням.

У додатках представлено повний комплект документації, що включає креслення, маршрутні та налагоджувальні карти, необхідні для впровадження розробленого технологічного процесу в умови виробництва.

Отримані результати мають практичне значення та можуть бути впроваджені на підприємствах машинобудівної галузі під час виготовлення деталей типу «корпус». Це сприятиме підвищенню точності обробки, зменшенню виробничих витрат і забезпеченню стабільності технологічного процесу.

Ключові слова: *вал-шестерня, заготовка, механічна обробка, технологічний процес, верстат, пристрій, сила затиску, припуск, ЧПК-програма.*

*Студент: Тимчук В.І.*

## SUMMARY

Bachelor's Qualification Thesis: "Technological Process of Manufacturing the Shaft-Gear PMK-584.00.000 for Medium-Scale Production Conditions"

Explanatory Note: \_\_\_ pages, \_\_\_ figures, \_\_\_ tables, \_\_\_ references, \_\_\_ A4-format appendices.  
Graphic Part: \_\_\_ A1-format sheets.

Object of the Study: technological process of mechanical machining.  
Subject of the Study: part "PMK-584.00.000".

The purpose of the thesis is to develop a rational technological process for manufacturing a housing-type part, adapted to the conditions of medium-scale production, considering modern requirements for machining accuracy, surface quality, and economic efficiency.

In the course of the work, a design and technological analysis of the specified part was carried out with an assessment of its manufacturability. The optimal blank shape and the most suitable method for its production were determined. A rational machining route was developed using modern metal-cutting equipment, including CNC machines.

To ensure precise and reliable fixation of the part during machining, a special machine fixture was designed. The clamping force was calculated, and the reliability of fixation was verified based on strength criteria. In the final part of the thesis, a CNC turning program was developed for machining the "shaft-gear" part.

The appendices contain a complete set of documentation, including drawings, routing sheets, and setup cards required for implementing the proposed technological process in a production environment.

The obtained results have practical value and can be implemented in machine-building enterprises for manufacturing housing-type parts. This will contribute to improving machining accuracy, reducing production costs, and ensuring the stability of the technological process.

Keywords: shaft-gear, blank, mechanical machining, technological process, machine tool, fixture, clamping force, machining allowance, CNC program.

Student: Tymchuk V.I.

**Івано-Франківський національний технічний університет нафти і газу**

(повне найменування закладу вищої освіти)

Інститут інженерної механіки та робототехніки

Кафедра комп'ютеризованого машинобудування

Освітній рівень - бакалавр

Спеціальність 131-Прикладна механіка

(шифр і назва)

**ЗАТВЕРДЖУЮ**

**Завідувач кафедри**

«\_\_\_\_\_» \_\_\_\_\_ 20\_\_ року

**З а в д а н н я**

На бакалаврську роботу студентіві

Тимчук Віталій Ігорович

(прізвище, ім'я, по батькові)

1. Тема роботи Розроблення технологічного процесу виготовлення деталі «Вал-шестерня ПМК-584.00.000»

керівник роботи Гнилиця І. Д. доц. каф. КМВ

(прізвище, ім'я, по батькові, науковий ступінь, вчене звання)

затверджені наказом закладу вищої освіти від "06" червня 2025 року №332/7

2. Строк подання студентом роботи до 15.06.2025 р.

3. Вихідні дані до роботи 1. Робоче креслення деталі;

2. Тип виробництва - середньосерійний

4. Зміст розрахунково-пояснювальної записки (перелік питань, які потрібно розробити)

1. Конструкторсько-технологічний аналіз

2. Проектування технології виготовлення деталі

3. Проектування технологічної оснастки

4. Написання програми на верстат з ЧПК

5. Перелік графічного матеріалу (з точним зазначенням обов'язкових креслень)

1. Креслення деталі і заготовки

2. Карти технологічних налагоджень

3. Складальне креслення верстатного пристрою

4. Складальне креслення контрольного пристрою

5. Написання програми на верстаті з ЧПК

6. Консультанти розділів роботи

Розділ	Прізвище, ініціали та посада консультанта	Підпис, дата	
		завдання видав	завдання прийняв
1	Гнилиця І. Д. доц. каф. КМВ		
2	Гнилиця І. Д. доц. каф. КМВ		
3	Гнилиця І. Д. доц. каф. КМВ		
4	Гнилиця І. Д. доц. каф. КМВ		

7. Дата видачі завдання 25.02.2025

### КАЛЕНДАРНИЙ ПЛАН

№ з/п	Назва етапів бакалаврської роботи	Термін виконання етапів роботи	Примітка
1	Конструкторсько-технологічний аналіз		
2	Проектування технології виготовлення деталі		
3	Проектування технологічної оснастки		
4	Написання програми на верстат з ЧПК		
5	Пояснювальна записка		
6	Графічна частина		

Студент \_\_\_\_\_

( підпис )

Тимчук В.І.  
(прізвище та ініціали)

Керівник роботи \_\_\_\_\_

( підпис )

Гнилиця І. Д.  
(прізвище та ініціали)

## Зміст

	Вступ.....	7
1	Технологічна частина.....	9
1.1	Опис призначення та аналіз технічних вимог до деталі.....	9
1.1.1	Опис призначення деталі і її функції у вузлі.....	9
1.1.2	Точність, шорсткість поверхонь і їх взаємне розміщення.....	12
1.2	Аналіз технологічності конструкції деталі.....	12
1.3	Визначення програми випуску деталей.....	15
1.4	Вибір способу отримання заготовки.....	
1.5	Розробка маршруту обробки деталі.....	
1.6	Призначення припусків на механічну обробку поверхонь.....	
1.7	Розрахунок режимів різання і основного часу.....	
1.8	Технічне нормування операцій.....	
2.	Конструкторська частина.....	
2.1	Пристрій для механічної обробки.....	
2.1.1	Опис призначення, конструкції і принципу роботи пристрою.....	
2.1.2	Розрахунок потрібної сили затиску заготовки в пристрої.....	
2.3	Розрахунок контрольного інструменту.....	
3	Написання програми на верстат з ЧПК.....	
	Висновки.....	
	Перелік використаних джерел.....	
	Додатки.....	

					<i>БР.ПМ- 584.00.000 ПЗ</i>			
Змни	Арк.	№ докум.	Підпис	Дата				
Розроб.		Тимчук В. І.			Пояснювальна записка	Літ.	Арк.	Аркушів
Перевір.		Гнилиця І.Д.					6	
Реценз.						<i>ІФНТУНГ</i>		
Н. Контр.		Гнилиця І.Д.				<i>ПМ-23-1К</i>		
Затверд.		Панчук В.Г.						

## Вступ

Сучасна індустрія неможлива без розвиненого машинобудування –галузі, яка забезпечує створення техніки, устаткування, механізмів для потреб усього народного господарства. Машинобудівний сектор охоплює десятки напрямів і тісно пов'язаний з багатьма галузями економіки, від сільського господарства до енергетики. Його роль є стратегічно важливою, оскільки він формує технічну основу для функціонування промислового комплексу країни.

У контексті глобального технологічного розвитку машинобудування виступає як основа технічного оновлення виробництва, сприяє модернізації підприємств і впровадженню інновацій. Прогрес в галузі механізації й автоматизації безпосередньо залежить від рівня розвитку машинобудівного виробництва, яке визначає конкурентоспроможність економіки.

Особливої актуальності набуває підготовка фахівців для цього напрямку, адже саме інженери, конструктори та технологи забезпечують реалізацію новітніх технічних рішень у практиці. Їхня діяльність має важливе значення не тільки для промислового виробництва, а й для забезпечення технічної незалежності країни.

Машинобудівний комплекс України охоплює значну частину промислового потенціалу країни. Близько третини всієї промислової продукції формується саме за рахунок машинобудування. Помітну частку займає важке машинобудування – сектор, який виробляє обладнання для металургії, енергетики, транспорту й хімічної промисловості. При цьому значна частина виробів використовується в межах самої країни, що свідчить про внутрішню взаємозалежність галузей.

Структура машинобудівного виробництва, а також його географічне розміщення формуються під впливом багатьох факторів. До них належать наявність висококваліфікованих кадрів, розвинена транспортна система, близькість до споживача, постачальників сировини та енергії. З огляду на це, машинобудівні підприємства можуть бути розміщені як у великих промислових

					<i>БР.ПМ- 584.00.000 ПЗ</i>	Арк.
Змн.	Арк.	№ докум.	Підпис	Дата		7

центрах, так і в регіонах з потужною науково-дослідною базою.

Машинобудування – це не лише галузь виробництва, а й рушійна сила науково-технічного оновлення, без якої неможливе стабільне зростання економіки та технічний прогрес в країні.

					<i>БР.ПМ- 584.00.000 ПЗ</i>	Арк.
Змн.	Арк.	№ докум.	Підпис	Дата		8

## 1. Загальна частина.

### 1.1 Опис конструкцій і роботи деталі.

Деталь Вал-шестерня виготовляється зі сталі 40Х, яка забезпечує необхідні механічні характеристики, включаючи високу міцність, твердість і зносостійкість. На торцях по центру виконано глухі центральні отвори, ці отвори є технологічними і використовуються для закріплення деталі в центрах при токарній обробці. В отворах нарізана різьба М20.

На шийці  $\varnothing 70$ , довжиною 96 знаходиться шпонковий паз, який забезпечує передавання крутного моменту.

Вал має дві шийки  $\varnothing 75$ к6 які використовуються для посадки підшипника. На шийці  $\varnothing 180$ , довжиною 110 нарізані зуби. Число зубів – 18; модуль – 9;

Таблиця 1 – Хімічний склад сталі 40Х

С, %	Mn, %	Si, %	P	Cu	S	Ni
0,32- 0,42	0,50- 0,80	0,17- 0,37	0,035	0,25	0,04	0,25

Таблиця 2 – Механічні властивості сталі 40Х

Марка матеріалу	Границя міцності при розтягу	Твердість по Брінелю, НВ	Межа текучості, $\sigma_t$ , МПа	Відносне видовження, $\delta$ , %
Сталь 40Х	207	590	245	18

					<i>БР.ПМ- 584.00.000 ПЗ</i>	Арк.
						9
Змн.	Арк.	№ докум.	Підпис	Дата		

Таблиця 3. Характеристика поверхонь деталі

№ Пов.	Поверхня, конфігурація, призначення поверхонь	Розміри, мм	Квалітет точності	Точність форми	Шорсткість
1	Фаска отвору. Вільна поверхня	3.5 × 45°	14	-	6.3
2	Внутрішня поверхня отвору	Ø21	14	-	6.3
3	Фаска. Вільна поверхня	1 × 60°	14	-	6.3
4	Різьбова поверхня отвору	M20	7	-	6.3
5	Конус отвору	-	14	-	6.3
6	Торцева поверхня	Ø75	14	-	6.3
7	Фаска зовнішня	2 × 45°	14	-	6.3
8	Зовнішня циліндрична поверхня	Ø75	6	-	0.8
9	Торцева поверхня	-	14	-	1.6
10	Зовнішня циліндрична поверхня	Ø90	14	-	6.3
11	Зовнішня торцева поверхня	Ø180	14	-	6.3
12	Зубчаста поверхня	Ø180	7	-	1.6
13	Зовнішня циліндрична поверхня	Ø90	14	-	6.3
14	Торцева поверхня	Ø90	14	-	6.3
15	Зовнішня циліндрична поверхня	Ø75	6	-	0.8

					<i>БР.ПМ- 584.00.000 ПЗ</i>	Арк.
Змн.	Арк.	№ докум.	Підпис	Дата		10

№ Пов	Поверхня, конфігурація, призначення поверхонь	Розміри, мм	Квалітет точності	Точність форми	Шорсткість
16	Торцева поверхня канавки	-	14	-	6.3
17	Циліндрична поверхня канавки	-	14	-	6.3
18	Торцева поверхня канавки	-	14	-	6.3
19	Зовнішня циліндрична поверхня	Ø75	6	-	0.8
20	Торцева поверхня	Ø75	14	-	6.3
21	Зовнішня циліндрична поверхня	Ø70	14	-	6.3
22	Фаска. Вільна поверхня	2 ×45°	14	-	6.3
23	Торцева поверхня	Ø70	14	-	6.3
24	Внутрішня поверхня паза	20	7	-	3.2
25	Поверхня дна паза	20	7	-	3.2
26	Радіусна поверхня паза	10	7	-	3.2

					<i>БР.ПМ- 584.00.000 ПЗ</i>	Арк.
Змн.	Арк.	№ докум.	Підпис	Дата		11

## 1.2 Аналіз технологічності

Деталь Вал-шестерня належить до категорії деталей типу вал. Креслення виконано технологічно і коректно, з врахуванням всіх потрібних факторів. Всі необхідні розміри, розрізи, перерізи вказано для повного уявлення про конструкцію деталі. Всі розміри зазначені, загальна шорсткість і технологічні параметри, включно із радіусами заокруглень під інструмент. Деталь має глухі отвори, для базування деталі при токарній обробці, шліфуванні та нарізанні зубів. В отворах нарізана різьба М20 для з'єднання торця вала з деталями типу кришка або фланець.

Поверхні обробляються механічним способом з урахуванням властивостей матеріалу, попередньої термообробки та гартування.

В кресленні вказана шорсткість шийки вала  $\varnothing 75k6 - Ra 0.8$ ;

Шорсткість поверхонь паза –  $Ra 3.2$ ;

Шорсткість для поверхонь з невказаною шорсткістю –  $Ra 6.3$ ;

Технологічність деталі визначається за такими показниками:

Точністю, шорсткістю та коефіцієнтом уніфікації. В таблиці 4 наведено розрахунок технологічності поверхонь.

№ поверхні	Квалітет точності	Шорсткість	Уніфіковані поверхні
1	14	6.3	14
2	14	6.3	
3	14	6.3	
4	14	6.3	
5	14	6.3	
6	14	6.3	
7	14	6.3	
8	7	0.8	
9	7	1.6	
10	14	6.3	
11	14	6.3	
12	14	6.3	

					<i>БР.ПМ- 584.00.000 ПЗ</i>	Арк.
Змн.	Арк.	№ докум.	Підпис	Дата		12

13	14	6.3	
14	7	1.6	
15	7	0.8	
16	14	3.2	
17	14	3.2	
18	14	3.2	
19	7	0.8	
20	14	1.6	
21	14	6.3	
22	14	6.3	
23	14	6.3	
24	7	3.2	
25	7	3.2	
26	7	3.2	

*Обчислення коефіцієнта уніфікації*

Позначимо:

- $Q_1$  – кількість уніфікованих поверхонь;
- $Q_2$  – загальна кількість уніфікованих поверхонь

Формула для коефіцієнта уніфікації:

$$K_y = \frac{Q_1}{Q_2} = \frac{18}{26} = 0.69 > 0.6$$

Мінімальне допустиме значення – 0,6. Оскільки отриманий коефіцієнт перевищує мінімальне значення, можна зробити висновок, що деталь відповідає технологічності за цим критерієм.

*Обчислення коефіцієнта точності*

Позначення:

- $A_{cp}$  – середньозважене значення квалітету,
- $n_i$  – кількість поверхонь кожного квалітету
- $\Sigma_n$  – загальна кількість поверхонь

Формула:

$$K_T = 1 - \frac{A_{cp}}{26} = \frac{14 \cdot 17 + 7 \cdot 7}{26} = 11.038$$

$$K_T = 1 - \frac{1}{11.038} = 0.91 > 0.8$$

					<i>БР.ПМ- 584.00.000 ПЗ</i>	Арк.
Змн.	Арк.	№ докум.	Підпис	Дата		13

Мінімальне допустиме значення – 0.8. Так як коефіцієнт отриманий після розрахунку перевищує найменше допустиме значення, то це означає що деталь відповідає технологічності за цим критерієм.

#### *Обчислення коефіцієнта шорсткості*

Визначаємо коефіцієнт шорсткості за формулою:

$$K_{ш} = \frac{1}{B_{ср}} = \frac{\Sigma_{БПі}}{\Sigma_n}$$

$\Sigma_{БПі}$  – сума кількості добутоків кількості поверхонь на відповідний клас шорсткості

$$B_{ср} = \frac{\Sigma_{БПі}}{\Sigma_n} = \frac{14 \cdot 6 + 0.8 \cdot 3 + 3 \cdot 6 + 1.6 \cdot 3}{26} = \frac{84 + 2.4 + 18 + 4.8}{26} = 4.2$$

$$\frac{1}{4.2} = 0.23 > 0.16$$

0,16 – мінімальне значення шорсткості.

Значення деталі за цим показником є технологічним. Деталь оцінена як технологічна за трьома критеріями – уніфікації, точністю та шорсткістю. Це свідчить про те, що в процесі виготовлення деталі не виникне труднощів.

Проведений аналіз конструкції та параметрів деталі «Вал-шестерня» дозволив зробити висновок про її високу технологічність, що підтверджується рядом об'єктивних показників. Креслення деталі виконано грамотно з технологічної точки зору — надані всі необхідні розміри, шорсткості, допуски, квалітети та перерізи, які забезпечують повне уявлення про конструкцію та дозволяють точно спроектувати технологічний процес обробки.

Ретельний розрахунок основних коефіцієнтів технологічності — уніфікації ( $K_u = 0,69$ ), точності ( $K_t = 0,91$ ) та шорсткості ( $K_{ш} = 0,23$ ) — свідчить про відповідність деталі встановленим нормативним вимогам. Всі три показники перевищують мінімально допустимі значення, що підтверджує технологічну придатність деталі до серійного виробництва без потреби у внесенні змін у конструкторську документацію.

Важливим фактором є також наявність глухих різьбових отворів, що

					<i>БР.ПМ- 584.00.000 ПЗ</i>	Арк.
Змн.	Арк.	№ докум.	Підпис	Дата		14

забезпечують зручність базування при подальшій токарній, шліфувальній та зубонарізній обробці. Задане значення шорсткості для різних поверхонь, зокрема Ra 0.8 на шийках вала та Ra 3.2 для пазів, демонструє уважний підхід до функціонального призначення кожної з поверхонь.

Таким чином, деталь має достатній рівень уніфікації, прийнятну точність і оптимальні параметри шорсткості, що дозволяє забезпечити стабільний технологічний процес при мінімальних витратах ресурсів. Це значно підвищує виробничу ефективність та зменшує імовірність браку. У сукупності зазначене свідчить про те, що деталь «Вал-шестерня» розроблена з урахуванням сучасних вимог технологічності та є повністю придатною для виготовлення з використанням типового металообробного обладнання.

					<i>БР.ПМ- 584.00.000 ПЗ</i>	Арк.
Змн.	Арк.	№ докум.	Підпис	Дата		15

## 2. Технологічна частина

### 2.1 Обґрунтування обраного типу виробництва

Середньосерійний тип виробництва обирається в тих випадках, коли виготовляють конструктивно подібні вироби в значних кількостях, що дозволяє забезпечити відносно великі обсяги випуску продукції.

Такий тип виробництва поєднує риси як масового, так і дрібносерійного виробництва, забезпечуючи при цьому гнучкість і ефективність обробки деталей. У середньосерійному виробництві часто застосовується універсальне, спеціалізоване, а також частково спеціальне обладнання, що дозволяє ефективно організувати обробку широкої номенклатури деталей.

Для обробки деталей у цьому типі виробництва використовуються як універсальні, так і спеціальні верстати. Наприклад, можуть застосовуватись токарні, фрезерні, свердлильні, шліфувальні верстати, а також спеціальні пристрої спеціального призначення, зокрема пристрої для закріплення деталей, калібри та шаблони для контролю розмірів.

Середньосерійне виробництво дозволяє ефективно організувати робочі місця, де одна операція виконується одним робітником, або автоматизованою установкою. Через повторюваність операцій зростає продуктивність праці, а завдяки частковій стандартизації оснащення знижується собівартість

Виготовлення деталей.

Перевагою цього типу виробництва деталей є також помірні вимоги до кваліфікації працівників. Завдяки тому, що обробка часто виконується за допомогою оснастки, працівникам не обов'язково мати високий рівень підготовки – достатньо навичок виконання окремих типових операцій

У даній роботі прийнято середньосерійний тип виробництва, оскільки програма випуску передбачає виготовлення 10000 одиниць деталей при масі однієї деталі 34,714 кг. Такий обсяг виробництва є характерним для середньосерійного виробництва.

Розраховуємо партію деталей:

					<i>БР.ПМ- 584.00.000 ПЗ</i>	Арк.
Змн.	Арк.	№ докум.	Підпис	Дата		16

$$n = \frac{N \cdot T}{\Phi_y}$$

$n$  – операційна партія,  $t$  – запас заготовок, потрібний для середньо серійного виробництва  $t = 5$ .

$\Phi_y$  – кількість робочих днів в році, вибираємо  $\Phi_y = 251$  дні.

$$n = \frac{1000 \cdot 5}{251} = 199 \text{ шт.}$$

Вибираємо партію, кількість деталей якої дорівнює 200 штук

## 2.2 Вибір і обґрунтування методу отримання заготовок.

Для виготовлення валів найбільш раціональним і поширеним способом є застосування металопрокату або штампування, зокрема у плоских штампах. Ці методи забезпечують не лише економію матеріалу, а й підвищення механічних властивостей виробу завдяки раціональному розташуванню волокон металу в структурі заготовки.

З огляду на відносно невеликі габаритні розміри деталі «Вал-шестерня», оптимальним способом отримання заготовки є холодне штампування поковок (КГШП). Цей метод дозволяє отримати заготовки з високим ступенем точності, з мінімальними припусками на механічну обробку, що, у свою чергу, зменшує витрати на подальші виробничі операції.

Штамповані заготовки, виготовлені методом КГШП, характеризуються підвищеною точністю геометричних розмірів, однорідною структурою та якісною поверхнею, що істотно спрощує подальшу обробку на верстатах. До того ж, їх виготовлення супроводжується меншими витратами енергії порівняно з гарячим штампуванням.

За необхідності, для підвищення точності або досягнення заданої форми, заготовки можуть бути додатково піддані холодному калібруванню, а також обтисканню або чеканці, що дозволяє забезпечити ще вищу точність форми та розмірів, а також покращити фізико-механічні характеристики поверхневого шару.

Таким чином, використання холодного штампування для виготовлення

					<i>БР.ПМ- 584.00.000 ПЗ</i>	Арк.
Змн.	Арк.	№ докум.	Підпис	Дата		17

заготовки під вал є технічно та економічно доцільним рішенням, що відповідає сучасним вимогам до заготовчого виробництва деталей машин.

### Штамповка

1. Вибираємо КГШП. Форма штампа плоска.
2. Визначаємо точність штамповки –ТЗ, с.28 (2).
3. Розраховуємо теоретичну масу заготовки за формулою:

$$C_p = C_p \cdot K_p,$$

$C_d$  – маса деталі;

$K_p$  – коефіцієнт – 1,5, тоді  $C_p = 34$ ,

$$M_k = \frac{\pi \cdot d^2}{4} \cdot l \cdot \rho; \quad d - \text{діаметр описаного кола}$$

$$d = 180 \cdot 1.05 = 189$$

$$l = 437 \cdot 1.05 = 458.85$$

$l$  – довжина описаного кола

$$M_k = \frac{3.14 \cdot 189^2}{4} \cdot 437 \cdot 7.8 \cdot 10^{-6} =$$

$$= 100,223 \text{ кг}$$

Оцінюємо складність заготовки за формулою:

$$C = \frac{C_d}{M_c} = \frac{34.714}{100.223} = 0.346$$

Степінь складності – С3 с.30 [2]

1. Обчислюємо вихідний індекс  $i = 1$  (с.10 [2]).

2. Конфігурація штампа – плоска.

3. Визначаємо припуски на розміри штамповки (с.13 [2]) у порівнянні з номінальними розмірами:

На діаметральні розміри:

$$70 + 1.6 \cdot 2 = 73.2$$

$$75 + 1.8 \cdot 2 = 78.6$$

$$90 + 2.4 \cdot 2 = 94.8$$

$$180 + 2.8 \cdot 2 = 185.6$$

					<i>БР.ПМ- 584.00.000 ПЗ</i>	Арк.
Змн.	Арк.	№ докум.	Підпис	Дата		18

$$90 + 2.4 \cdot 2 = 94.8$$

$$75 + 1.8 \cdot 2 = 78.6$$

На лінійні розміри штамповки:

$$437 + 1.5 \cdot 2 = 440 \text{ мм}$$

$$78 + 1.5 + 1.2 = 80.7 \text{ мм}$$

$$96 + 1.5 + 1.3 = 98.8 \text{ мм}$$

$$110 + 1.6 \cdot 2 = 113.2 \text{ мм}$$

$$36 + 1.2 + 1.3 = 38.5 \text{ мм}$$

Розраховуємо додаткові припуски с.14 т.4 [2]. Припуски на вгнутість та співвісність для діаметральних розмірів та площинність і прямолінійність для плоских поверхонь:

$$73.2 + 0.3 \cdot 2 = 73.8$$

$$78.6 + 0.3 \cdot 2 = 79.2$$

$$94.8 + 0.3 \cdot 2 = 95.4$$

$$185.6 + 0.3 \cdot 2 = 186.2$$

$$94.8 + 0.3 \cdot 2 = 95.4$$

$$78.6 + 0.3 \cdot 2 = 79.2$$

Мінімальні радіуси заокруглень с.15 т7. [2].

$$R = 2,0 \text{ мм.}$$

Визначаємо допуски с.18-19 т8. [3]. на діаметри:

$$\varnothing 70_{-0.43}^{\square} \quad \varnothing 75_{-0.016}^{\square} \quad \varnothing 90_{-0.46}^{\square}$$

$$\varnothing 180_{-0.04}^{\square}$$

На лінійні розміри:

$$437_{-0.4}^{\square} \quad 78_{-0.25}^{\square} \quad 96_{-0.27}^{\square} \quad 148_{-0.32}^{\square} \quad 110_{-0.3}^{\square} \quad 143_{-0.21}^{\square}$$

$$143_{-0.32}^{\square}$$

Визначаємо масу штамповки. Відповідно до розрахунку виконаного в програмі “Autodesk Inventor” маса штамповки становить 38.79 кг.

$$\text{Знаходимо коефіцієнт використання матеріалу за формулою } K = \frac{M_1}{M_2} = \frac{34.714}{38.79} =$$

$$0,894$$

					<i>БР.ПМ- 584.00.000 ПЗ</i>	Арк.
Змн.	Арк.	№ докум.	Підпис	Дата		19

№	Розмір	Припуск	Допуск		Прийнятий розмір
			+	-	
1	Ø70	1.9 · 2	1.3	0.7	Ø70
2	Ø75	2.1 · 2	1.3	0.7	Ø70
3	Ø90	1.9 · 2	1.3	0.7	Ø70
4	Ø180	0.3 · 2	1.3	1.1	Ø70
5	Ø90	1.2 · 2	0.5	1.7	Ø70
6	Ø75	0.3 · 2	70	0.6	Ø70

Обчислюємо собівартість заготовки і

Виконуємо ескіз штамповки:

$$S_1 = \left( \frac{C}{1000} \cdot M_1 \right) - (M_3 - M_d) - \frac{S_B}{1000}$$

C – вартість 1т заготовки (120000 грн)

S<sub>B</sub> – вартість 1т стружки (6600 грн)

$$S_1 = \left( \frac{120000}{1000} \cdot 34.714 \right) - (38.79 - 34.714) - \frac{6600}{1000} = 4155 \text{ грн.}$$

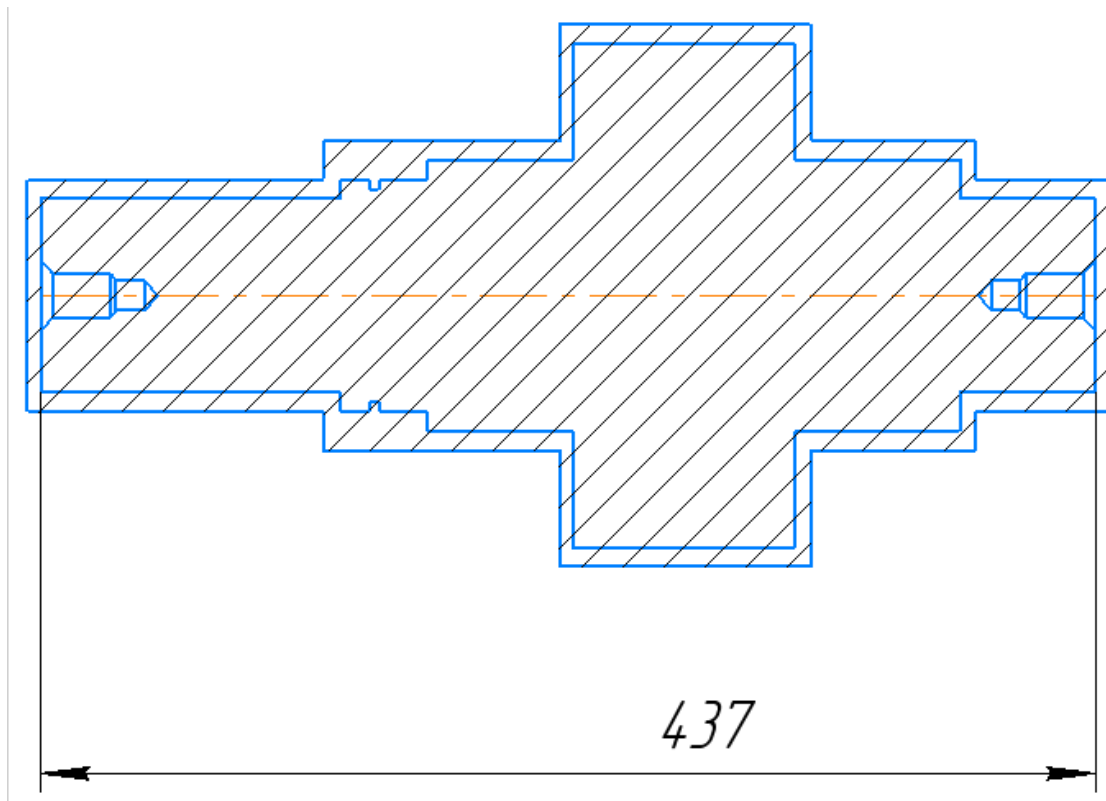


Рисунок 1. Штамповка

Максимальні допустимі радіуси заокруглень R = 2.8

Максимальна допустима величина зміщення до 0.18

					БР.ПМ- 584.00.000 ПЗ	Арк.
Змн.	Арк.	№ докум.	Підпис	Дата		20

Максимальні допустимі відхилення від прямолінійності - 0.4

Кут штампувальних нахилів - 5°

Допуск на радіуси заокруглень – 0.4

### Прокат

1. Вибираємо заготовку з прокату нормальної точності, круглого перерізу  $\varnothing 187$  мм.
2. Додаємо припуски та допуски згідно таблиці 2

Таблиця 2

№ пов	Розмір	Припуск	Допуск		Прийнятий розмір
			+	-	
10	$\varnothing 180h7$	$1,9 \cdot 2$	0,5	1,3	$180_{-1.3}^{+0.5}$
2-15	440	$2,5 \cdot 2$	1,0	1,0	$440_{\pm 1.2}$

1. Визначаємо технічні вимоги згідно ДСТУ 2590-2006
2. Допустиме відхилення від площинності – 0.3 мм
3. Допустима кривизна – 0.25 мм

Знаходимо масу прокату за формулою:

$$M_n = \frac{\pi d^2}{4} \cdot \rho \cdot l$$

$d$  – діаметр заготовки

$\rho$  - густина матеріалу

$l$  – довжина заготовки

Маса прокату дорівнює:

$$M_n = \frac{3.14 \cdot 187^2}{4} \cdot 440 \cdot 7.8 \cdot 10^{-6} = 94.21 \text{ кг}$$

Розраховуємо собівартість прокату за формулою:

$$S_1 = \left( \frac{C}{1000} \cdot M_1 \right) - (M_3 - M_d) - \frac{S_B}{1000}$$

					<i>БР.ПМ- 584.00.000 ПЗ</i>	Арк.
Змн.	Арк.	№ докум.	Підпис	Дата		21

C – вартість 1т заготовки (120000 грн)

S<sub>B</sub> – вартість 1т стружки (6600 грн)

$$S_1 = \left( \frac{80000}{1000} \cdot 94.21 \right) - (94.21 - 34.714) \cdot \frac{6600}{1000} = 7473.13$$

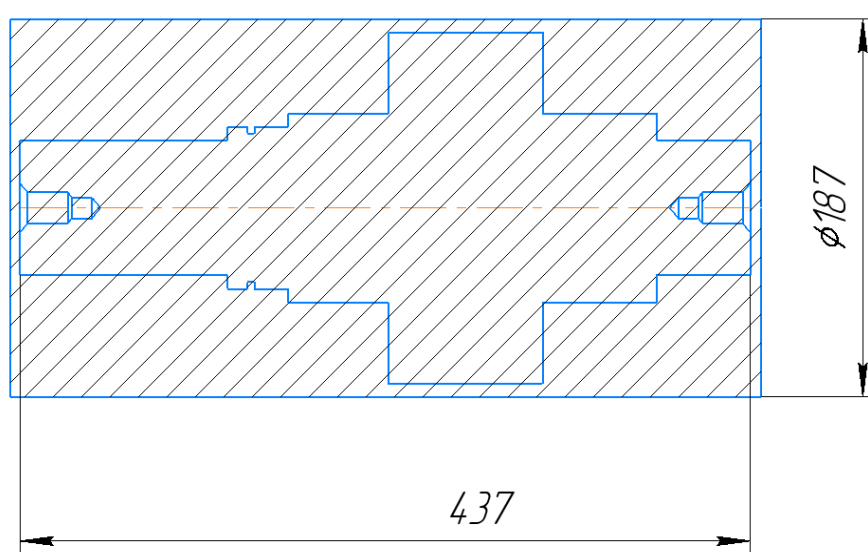


Рисунок 2 – Заготовка-прокат

#### Порівняння заготовки прокату і заготовки-штамповки

Порівняння заготовок

Таблиця 5

Значення	Прокат	Штамповка
Маса заготовки	94.21	38.21
Коефіцієнт використання матеріалу	0.92	0.36
Собівартість 1 заготовки (грн)	4155	7473

В штамповки вищий коефіцієнт використання матеріалу за коефіцієнт використання прокату на 56%, ціна штамповки нижча від ціни прокату.




Вибираємо заготовку штамповку.

## 2.3 Розробка технологічного процесу

### 2.3.1 Технічні вимоги при виготовленні деталей, методи їх забезпечення

Технічні вимоги та методи їх забезпечення

Таблиця 6

№	Технічні вимоги	Методи забезпечення	Засоби для контролю			
1	2	3	4			
2	<table border="1" style="margin-left: auto; margin-right: auto;"> <tr> <td style="text-align: center;"></td> <td style="text-align: center;">0.005</td> <td style="text-align: center;">A</td> </tr> </table> <p>Радіальне биття поверхні 15 не має перевищувати 0.005 мм</p>		0.005	A	Обробка в центрах	Індикаторний битгемір
	0.005	A				
3	Твердість зубів 45...50 HRC	Гартування Відпуск	Мікромер			

### 2.3.2 Обґрунтування вибору баз

Під час вибору технологічних баз необхідно дотримуватися наступних вимог:

1. Деталь має легко і швидко встановлюватися на верстат, і зніматися з нього.
  2. Базові поверхні повинні мати достатню площу для забезпечення стійкості під час обробки.
  3. В якості баз бажано вибирати ті поверхні, які найменше деформуються під дією сил різання або під власною вагою.
  4. Незаточені поверхні можна використовувати як бази лише на попередніх операціях обробки – для формування чистових баз.
  5. Основною базою доцільно вибирати поверхню з найменшими припусками.
  6. Монтаж і демонтаж деталі повинні займати найменший час.
  7. За можливості потрібно зберігати однаковість базування для всіх операцій.
- Деталь “Вал-шестерня” є циліндричним тілом. В якості чорнових технологічних баз застосовуються циліндричні поверхні та торці. Від цих баз обробляють два торці і свердлять центрові отвори.

При токарній операції, нарізанні зубів, шліфуванні базами є поверхні 1, 20).

					<i>БР.ПМ- 584.00.000 ПЗ</i>	Арк.
Змн.	Арк.	№ докум.	Підпис	Дата		23

### 2.3.3 Заповнення маршрутної карти

#### Маршрутна карта

№ операції	Назва та зміст операції	Модель верстата	Пристрій
1	2	3	4
005	Заготівельна	-	-
010	Фрезерно-центрувальна (фрезерування торців деталі, свердління центрувальних отворів в торцях)  1. Фрезерувати торці (поверхня 6, поверхня 23) в розмір 437.  2. Просвердлити центрові технологічні отвори  3. Зенкувати фаску  4. Нарізати різьбу M20	Mikron WF-72 CF	Пристрій спеціальний при верстаті
015	Токарна з ЧПК 1.Точити контур деталі начорно. 2. Точити контур деталі начисто. 3. Зняти фаски 4. Точити канавку	DMG CLX-300	Трьохкулачковий патрон, рухомий та нерухомий центри
025	Вертикально-фрезерна (фрезерування шпонкового паза)	Bridgeport Series I	Призма

					<i>БР.ПМ- 584.00.000 ПЗ</i>	Арк.
Змн.	Арк.	№ докум.	Підпис	Дата		24

030	Зубофрезерна Нарізання зубів	Pinnacle BX-700	Центри
035	Зубошліфувальна	Reishauer RZ- 301S	Центри
040	Круглошліфувальна Шліфуєм в розмір діаметр 75к6	Studer s33	Центри
045	Контрольна	Стіл ВТК	Спеціальний контрольний пристрій

					<i>БР.ПМ- 584.00.000 ПЗ</i>	Арк.
Змн.	Арк.	№ докум.	Підпис	Дата		25

## 2.4 Обробка операційного технологічного процесу

### 2.4.1.Визначення міжопераційних припусків та розмірів

Для забезпечення потрібної точності й якості обробки деталі потрібно розробити послідовний технологічний процес механічної обробки. При цьому на кожному етапі деталь наближається до кінцевого розміру, а припуски визначаються з врахуванням методу обробки.

Заміна припусків необхідна для компенсації похибок, що виникають у процесі закріплення, геометрії інструмента, і нестабільності верстата. Ці похибки ускладнюють досягнення необхідної точності. Найбільш економічно вигідно встановлювати припуски на поверхні, які зазнають найменших змін.

Занадто малий припуск не забезпечує усунення дефектів поверхні, тоді як надмірно великий збільшує час обробки, знос інструмента та утворення браку. Тому оптимальні припуски визначаються з врахуванням стану заготовки, вимог до розмірів, а також типу обладнання

Для розрахування припусків приймаємо обробку зовнішньої циліндричної поверхні  $\varnothing 180h7$  (довжина 110 мм).

Спосіб виготовлення заготовки – штампування на ГКМ

Клас точності заготовки – Т3

Точність поверхні після обробки – 9 квалітет

Розміри оброблюваної поверхні -  $\varnothing 180h7$  (довжина 110 мм).

Схема установки – згідно креслення.

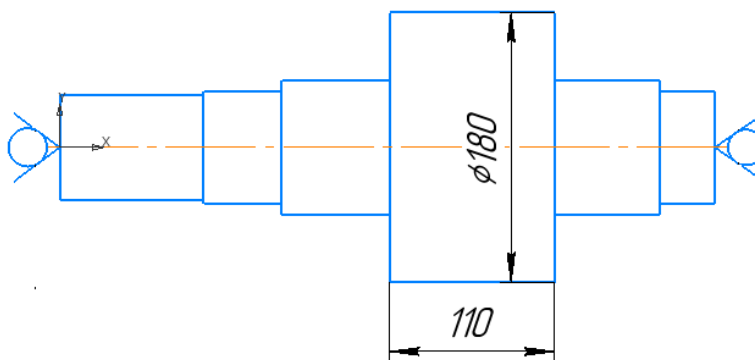


Схема установки деталі при токарній операції

					БР.ПМ- 584.00.000 ПЗ	Арк.
Змн.	Арк.	№ докум.	Підпис	Дата		26

- Чорнове точіння (h14)
- Чистове точіння (h9)

Найменший припуск при точінні:

$$2 \cdot z_{\min i} = 2 \cdot (R_{I-1} h_{i-1} \rho_{i-1})$$

$R_{I-1}$  – висота мікронерівностей поверхні на попередньому переході.

$h_{i-1}$  – глибина дефектного шару поверхні

$\rho_{i-1}$  – відхилення розміщення поверхні

Загоовка ( $R + h$ )

Сумарне відхилення:

$$\rho = \sqrt{\rho_k^2 + \rho_k^2 + \rho_{ni}^2}$$

викривлення поверхні  $\int \rho_k = \Delta_k \cdot l = 1 \cdot 15 = 15$  мкм.

$\Delta_i$  - кривизна заготовки

$$\rho_i = \sqrt{\left(\frac{\delta_z}{2}\right)^2 + 0.25^2} = \sqrt{\left(\frac{2}{2}\right)^2 + 0.25^2} = 1.03 \text{ мм}$$

$\delta_z$  допуск на базові поверхні при горизонтально – фрезерній центрувальній операції.

$$\rho_{ni} = 1 \text{ мм}$$

$$\rho = \sqrt{0.015^2 + 1.03^2 + 1^2} = 1.46 \text{ мм};$$

Кінцеве просторове відхилення:

Для чорнового точіння:  $\rho_1 = 0.06 \cdot 1140 = 86.4$  мкм.

Для чистового точіння:  $\rho_2 = 0.04 \cdot 1250 = 57.6$  мкм.

Розраховуємо мінімальні значення припусків, використовуємо загальну формулу:

Для чорнового точіння:  $2 \cdot Z_{\min 1} = 2 \cdot (160 + 250 + 1440) = 2 \cdot 1820$  мкм

					<i>БР.ПМ- 584.00.000 ПЗ</i>	Арк.
Змн.	Арк.	№ докум.	Підпис	Дата		27

Для напівчистового точіння:  $2 \cdot Z_{min1} = 2 \cdot (50 + 50 + 86.4) = 2 \cdot 186.4$   
мкм

Для чистового точіння:  $2 \cdot Z_{min1} = 2 \cdot (10 + 20 + 57.6) = 2 \cdot 87.6$  мкм

Розрахунковий розмір  $d_B$

$$d_{p1} = 63.797 + 3.7 = 63.797 \text{ мм}$$

$$d_{p2} = 59.601 + 0.496 = 60.097 \text{ мм}$$

$$d_{p3} = 59.426 + 0.175 = 59.601 \text{ мм}$$

Найбільші граничні розміри:

$$d_{max1} = 63.797 + 2.0 = 65.797 \text{ мм};$$

$$d_{max2} = 60.097 + 0.74 = 60.837 \text{ мм}$$

$$d_{max3} = 59.601 + 0.19 = 59.791 \text{ мм}$$

$$d_{max4} = 59.426 + 0.074 = 59.5 \text{ мм}$$

Значення припусків  $\int Z_{max}^{id}$  розраховуємо як різницю найбільших граничних розмірів і найменших граничних розмірів попереднього і поточного переходів:

$$2 \cdot Z_{max1}^{np} = 59.567 - 59.1 = 0.192 \text{ мм}$$

$$2 \cdot Z_{max2}^{np} = 61.231 - 59.782 = 1.21 \text{ мм}$$

$$2 \cdot Z_{max3}^{np} = 63.43 - 61.343 = 4.63 \text{ мм}$$

$$2 \cdot Z_{min1}^{np} = 63.792 - 60.097 = 3.7 \text{ мм}$$

$$2 \cdot Z_{min2}^{np} = 60.097 - 59.601 = 0.496 \text{ мм}$$

$$2 \cdot Z_{min3}^{np} = 59.601 - 59.426 = 0.175 \text{ мм}$$

Загальні припуски  $Z_{0min}$  і  $Z_{0max}$  знаходимо додаючи припуски:

$$2 \cdot Z_{0min} = 0.175 + 0.499 + 3.6 = 4.363 \text{ мм};$$

$$2 \cdot Z_{0max} = 0.291 + 1.046 + 4.96 = 6.297 \text{ мм};$$

					<i>БР.ПМ- 584.00.000 ПЗ</i>	Арк.
Змн.	Арк.	№ докум.	Підпис	Дата		28

Для решти поверхонь деталі допуски і припуски приймаємо по ГОСТ 7505-74 і заносимо отримані значення до таблиці

Технологічні переходи	Елементи припуску			Розрахунковий розмір		Допуск, ТД, мкм	Граничні розміри		Гранична величина припуску	
				$d_{min}$	$d_{max}$					
Заготовка	2454	274				2000				
Чорнове,	5	50	125	3900	6456	870	390	645	390	480
напівчистове	11	218	0	182	62.1	210	0	6	0	0
чистове	5	18	198		58.2	180	182	62.	500	102
точіння			2	93			93	1	150	0
			84					58.		320
								2		

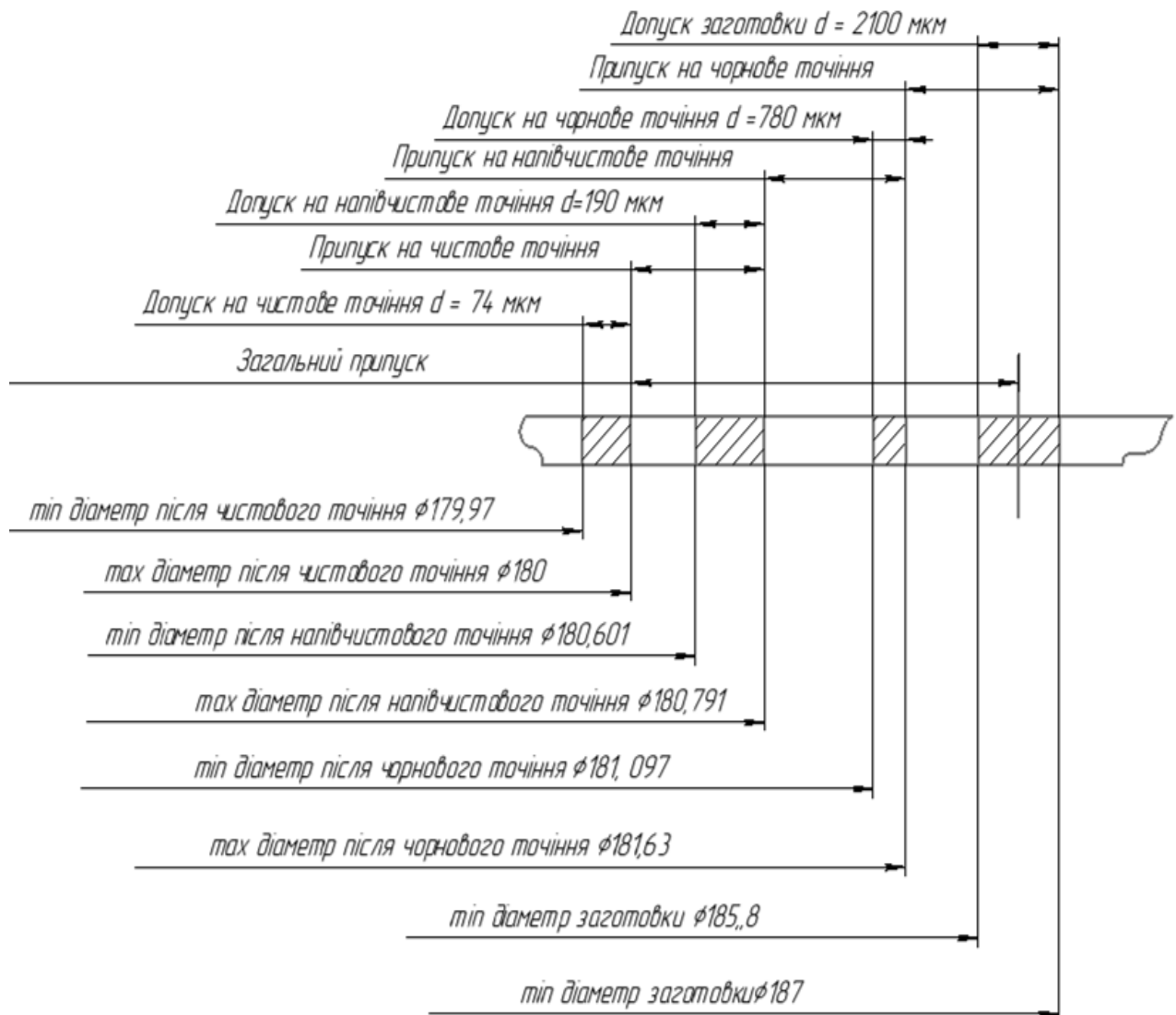


Схема розміщення полів допусків для розміру  $\varnothing 180 h9$

					БР.ПМ- 584.00.000 ПЗ	Арк.
Змн.	Арк.	№ докум.	Підпис	Дата		29

## 2.4.2. Визначення режимів різання

Вибір різального та допоміжного інструменту.

*Вибираємо інструмент: Фреза шпонкова 2234-0136 ГОСТ 9140-78*

*Допоміжний інструмент: Цанга 6113-0011 МН 27-64, Патрон 6151-0021 МН 26-64*

*Розрахунок режимів різання та аналіз норм часу*

*Проводимо розрахунок режимів різання для фрезерування*

*Визначаємо глибу різання за один хід.  $t = 0.2\text{мм}$  с.342 к.198 [6].*

$$K_{tv} = 1.0, K_{ov} = 1.0.$$

*Коректуємо по паспорту верстату та приймаємо  $t = 0.20\text{ мм}$ .*

*Визначаємо швидкість різання  $V_{різ} = 24\text{ м/хв.}$  с.342 к.198 [6].*

*Визначаємо число обертів фрези  $n_{\phi} = 1273\text{хв}^{-1}$  с.342 к.198 [6].*

*Коректуємо по паспорту верстата  $n_{np} = 1250\text{ хв}^{-1}$ .*

*Визначаємо дійсну швидкість різання за формулою:*

$$V = \frac{\pi D n}{1000} = \frac{3.14 \cdot 6 \cdot 1250}{1000} = 23,5\text{ м/ хв.}$$

*Визначаємо хвилинну подачу фрези:*

$$S_{xв} = 420\text{мм/ хв.}$$
 с.342 к.198 [6].

*Коректуємо по паспорту верстата  $S_{хвnp} = 400\text{ мм/хв,}$*

*Визначаємо машинний час:*

$$T_{маш} = \frac{26 \cdot 3,0}{400 \cdot 0,2} \cdot 1 = 0,97\text{хв.}$$

*Визначаємо головну складову сили різання  $P_z, Н$*

$$P_z = (10 C_{pt}^x S_z^y B^n Z/D^q n^w) K_{MP}, \text{ де}$$

*$C_p$  – стала для оброблюваного матеріалу – 82,  $t$  – глибина різання 0,2 мм,  $S$  – подача на зуб – 0,2 мм/зуб,  $B$  – ширина фрезерування – 6 мм,  $Z$  – кількість зубів – 2,  $D$  – діаметр фрези – 6 мм,  $n$  – кількість обертів фрези і показники степеней:  $x - 0.75$ ,  $y - 0.6$ ,  $q - 0.86$ ,  $w - 0$ .  $n - 1$ ,  $K_{MP}$  – поправочний коефіцієнт, який залежить від матеріалу обробки*

$$K_{MP} = (\sigma_{\phi}/750)^{np}, \text{ де } n_p - 0.75, \text{ тоді } K_{MP} = (750/750)^{0.75} = 1,0$$

					БР.ПМ- 584.00.000 ПЗ	Арк.
Змн.	Арк.	№ докум.	Підпис	Дата		30

$$P_z = (10 \cdot 82 \cdot 0,275 \cdot 0,2^{0,6} \cdot 6^1 \cdot 2/6^{0,86} \cdot 1250^0) \cdot 1,0 = 242 \text{ Н}$$

Визначаємо крутний момент за формулою:

$$M_{кр} = P_z V / 1020 \cdot 60 = 277 \cdot 23,5 / 1020 \cdot 60 = 0,90 \text{ Нм}$$

Обчислення основного часу

№ Операції	№ Переходу	Формула розрахунку	L (мм)	i	n (хв <sup>-1</sup> )	S (хв)	T <sub>м</sub> (хв)	Література
010	1	$T_M = \frac{L_i}{n \cdot S} \cdot i$	84	1	650	50	1.6	
	2		12	2	650	50	1.6	
	3				30	30	2	
015	1	$T_M = \frac{L}{n \cdot S} \cdot i$	96	2	1200	120	4	с.23 [4]
	2		80	3	680	120	5	
	3		100	3	700	100	5	
	4		110	3	500	120	6	
	5		25	1	500	80	2	
	6		25	1	1200	80	8	
	7		100	4	600	100	2	
	8		120	4	650	100	4	
	9		143	1	500	100	5	
	10		46	1	650	90	5	
	11		20	1	650	90	6	
	12		20	1	580	120	7	
020	1	$T_M = \frac{L}{n \cdot S} \cdot i$	78	1	700	120	3	с.28 [2]
030	1	$T_M = \frac{L \cdot z}{n \cdot S \cdot K}$	65	1	210	200	3	с.28 [2]
040	1	$T_M = \frac{L \cdot z}{n \cdot S \cdot K}$	50	1	3000	120	3	с.28 [2]
045	1	$T_M = \frac{L \cdot z}{n \cdot S \cdot K}$	50	1	3000	120	3	с.28 [2]

### 2.4.3. Розраховуємо норми часу

З попередніх розрахунків беремо основний час на дану операцію,  
він становить 0,97 хв.

1. Визначаємо допоміжний час.

– Знаходимо час на установлення та зняття деталі:

$$t_{УСТ} = 0,24 \text{ хв. к16 л1 п18 с.56 [1].}$$

– Знаходимо час зв'язаний з переходом і часи, які не ввійшли в комплекс:

$$t_{ПЕР} = 0,36 \text{ хв. к31 п18 с.108 [1].}$$

$$t_{НК1} = 0,12 \text{ хв. к31 п16 с.109 [1].}$$

$$t_{НК2} = 0,06 \text{ хв. к31 п19 с.109 [1].}$$

$$\sum t_{НК} = 0,12 + 0,06 = 0,18 \text{ хв.}$$

– Знаходимо час на вимірювання:

$$t_{ВИМ1} = 0,1 \text{ хв. к86 л7 п158 с.190 [1], } t_{ВИМ2} = 0,1 \text{ хв. к86 л7 п158 с.190 [1],}$$

знаходимо коефіцієнт періодичності вимірювання.  $\kappa_{ВИМ1} = 0,3$  к86 л4 с.200,  $\kappa_{ВИМ2} = 0,3$  к86 л4 с.200 [1].

Час на вимірювання буде становити:

$$t'_{вим} = t_{ВИМ1} \cdot \kappa_{ВИМ1} + t_{ВИМ2} \cdot \kappa_{ВИМ2} = 0,1 \cdot 0,3 + 0,1 \cdot 0,3 = 0,06 \text{ хв.}$$

– Знаходимо величину допоміжного часу без поправочного коефіцієнта, який залежить від величини партії деталей.

$$t'_{дон} = t_{УСТ} + t_{ПЕР} + t'_{вим} + \sum t_{НК} = 0,24 + 0,36 + 0,06 + 0,18 = 0,84 \text{ хв.}$$

– Визначаємо величину коефіцієнта, який залежить від величини партії деталей:  $\kappa = 1,0$  к1 с.31 [1].

Допоміжний час на операцію буде становити:

$$t_{дон} = t'_{дон} \cdot \kappa = 0,84 \cdot 1,0 = 0,84 \text{ хв.}$$

2. Визначення оперативного часу:  $t_{опер} = t_{осн} + t_{дон} = 0,97 + 0,84 = 1,81 \text{ хв.}$

					БР.ПМ- 584.00.000 ПЗ	Арк.
Змн.	Арк.	№ докум.	Підпис	Дата		32

3. Визначення часу на обслуговування робочого місяця:

$$t_{\text{обсл}} = \frac{a \cdot t_{\text{опер}}}{100} = \frac{3,5 \cdot 1,81}{100} = 0,06 \text{ хв.}, \text{ де } a - \text{ процент від оперативного часу. К32}$$

с.110 [1].

4. Визначаємо час на відпочинок та особисті потреби:

$$t_{\text{відп}} = \frac{в \cdot t_{\text{опер}}}{100} = \frac{4 \cdot 1,81}{100} = 0,07 \text{ хв. де } в - \text{ процент від оперативного часу К88}$$

5. Знаходимо величину штучного часу:

$$t_{\text{шт}} = t_{\text{опер}} + t_{\text{обсл}} + t_{\text{відп}} = 1,81 + 0,06 + 0,07 = 1,94 \text{ хв.}$$

6. Визначаємо величину підготовчо-заключного часу:

$$t'_{\text{пз}} = 16 \text{ хв к32 п7 с.111 [1]}; t''_{\text{пз}} = 7,0 \text{ хв к32 п24 с.111 [1]};$$

$$t_{\text{пз}} = t'_{\text{пз}} + t''_{\text{пз}} = 16,0 + 7,0 = 23 \text{ хв.}$$

Визначаємо мінімальну кількість деталей в партії за формулою:

$$n_{\text{д}} = \frac{t_{\text{пз}}}{T_{\text{шт}} \cdot a} = \frac{23}{1,94 \cdot 0,07} = 169 \text{ Приймаємо } 170 \text{ шт.}$$

7. Визначаємо величину штучно-калькуляційного часу:

$$t_{\text{шт.к}} = \frac{t_{\text{пз}}}{n} + t_{\text{шт}} = \frac{23}{170} + 1,94 = 2,08 \text{ хв.}, \text{ де } n - \text{ партія деталей.}$$

Таблиця норм часу

№ операції	Назва операції	Модель верстата	$\frac{T_{\text{пз}}}{n}$ хв	Туст. хв	Тпер. хв	Твим. хв	Тобс. хв	Твідп. хв	Тпер. хв	Тпер. хв	Тшт хв	Література
1	2	3	4	5	6	7	8	9	10	11	12	13
010	Горизонтальн-фрезерна	Mikron WF – 72 CF	0,41	28/200	0,32	0,2	0,06	0,07	0,5	1,34	1,3	К65 Л2 П7
015	Токарна з ЧПК	DMG CLX-350	1,34	28/200	1,32	0,3	0,45	0,11	0,14	2,21	1,5	К12 п1 с120
020	Вертикально-фрезерна	Bridgeport Series I	1,34	28/200	1,32	0,3	0,21	0,11	0,11	2,32	1,5	К65 Л2 П7
025	Зубонарізна	GLEASON-PFAUTER P90	3,12	48/200		0,45		0,16	0,15	6,02	2,4	К65 Л2 П7
030												
035	Зубофрезерна	Reishauer RZ-301S	2,11	20/200		0,23		0,11	0,11	3,11	2	К12 п1 с120
045	Зубошліфувальна	Studer S33	0,22	24/200		6,34		0,12	0,11	1,2	2,2	К12 п1 с134

					<b>БР.ПМ- 584.00.000 ПЗ</b>							Арк.
Змн.	Арк.	№ докум.	Підпис	Дата								33

## 2 Конструкторська частина

### 2.1 Пристрій верстатний

Організація надійного закріплення заготовки на верстаті є одним із ключових факторів, що впливають на точність і якість обробки. У процесі токарної обробки особливо важливо забезпечити жорстке базування та фіксацію деталі, оскільки від цього залежить не лише геометрична точність, але й знос інструменту, вібрації під час обробки, а також безпека роботи оператора.

У цьому пункті розглядається конструкція та принцип дії пристрою для встановлення та закріплення деталі «Вал-шестерня ПМК-584.00.000» на верстаті з числовим програмним керуванням. Описується вибір типу патрона, особливості використання технологічних баз, а також вимоги до пристрою з огляду на конструктивні особливості деталі та обраний технологічний процес.

#### *Розрахунок сил затиску*

Розрахунок сили затиску дозволяє встановити мінімальне зусилля, при якому заготовка залишатиметься стабільною в процесі обробки, не порушуючи при цьому її геометричних параметрів. У цьому підпункті буде виконано аналітичний розрахунок з урахуванням основних параметрів: сили різання, умов тертя, геометрії деталі та типу патрона. Отримані результати дадуть змогу обґрунтовано вибрати затискний пристрій і гарантувати надійність закріплення в умовах реального виробництва.

В процесі фрезерування на деталь діє сила  $P_z$ , і крутний момент, який старається повернути деталь. Схема дії показана на рисунку 5.

					<i>БР.ПМ- 584.00.000 ПЗ</i>	Арк.
Змн.	Арк.	№ докум.	Підпис	Дата		34

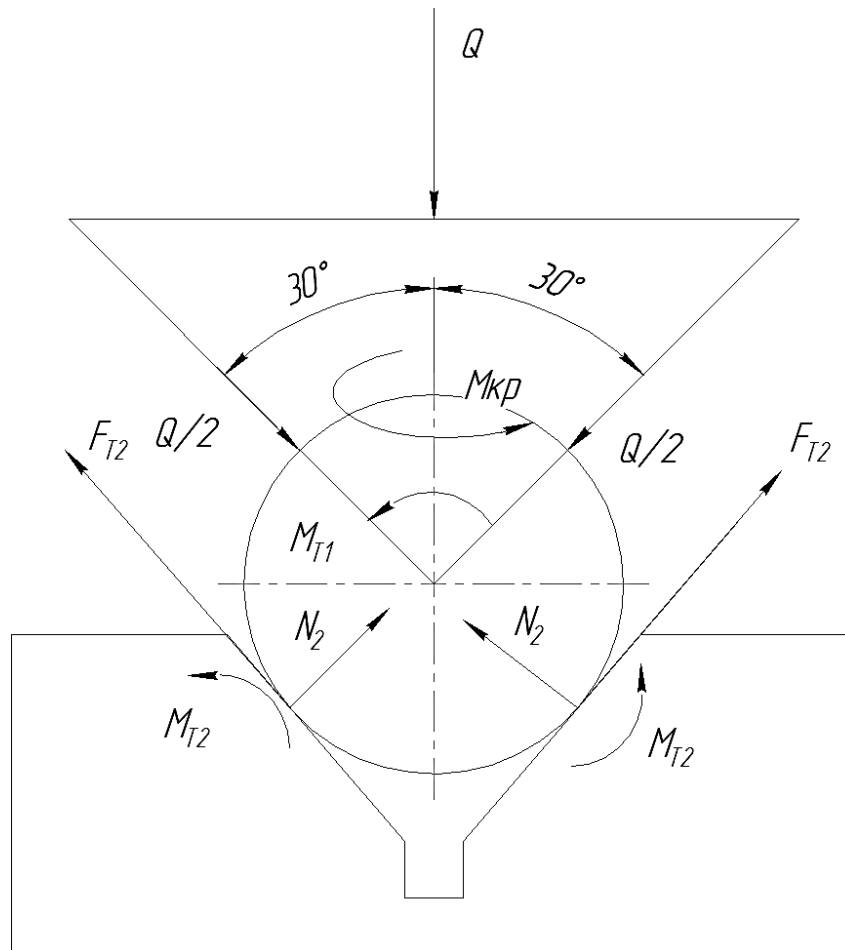


Рисунок 5 – Схема дії сил

Для даної схеми сила затиску рівняння рівноваги:

$$KM_{p1} = M_{T1} + 2M_{T2}$$

$$M_{T1} = F_{T1}R = Wf_1 \frac{d}{2}, \quad M_{T2} = F_{T2}R = Nf_2 \frac{d}{2} = \frac{W}{2\sin\frac{\alpha}{2}} f_2 \frac{d}{2},$$

тоді підставимо у початкову формулу і значення осьової сили визначимо силу затиску:

$$W = \frac{KM_p}{f_1 \frac{d}{2} + \frac{f_2 \frac{d}{2}}{\sin\frac{\alpha}{2}}}$$

де  $f_1, f_2$  – коефіцієнти тертя в місцях контакту;

$\alpha$  – кут призми рівний  $90^\circ$ ;  $K$  – коефіцієнт запасу

Визначаємо коефіцієнт запасу.

					БР.ПМ- 584.00.000 ПЗ	Арк.
Змн.	Арк.	№ докум.	Підпис	Дата		35

$$K = K_0 K_1 K_2 K_3 K_4 K_5 K_6,$$

$K_0$  – гарантований коефіцієнт запасу рівний 1.5,

$K_1$  – коефіцієнт враховує випадкові нерівності деталі – 1.0,

$K_2$  – коефіцієнт враховує затуплення інструменту – 1.0,

$K_3$  – коефіцієнт враховує перервне різання – 1.2,

$K_4$  – коефіцієнт враховує стабільність затиску – 1.3,

$K_5$  – коефіцієнт враховує зручність затискного механізму – 1.0,

$K_6$  – коефіцієнт враховує повертаючі моменти – 1.0, [1], с.91

$$K = 1,5 \cdot 1 \cdot 1 \cdot 1,2 \cdot 1,3 \cdot 1 \cdot 1 = 2,34;$$

$$f_1 = f_2 = 0.16, \text{ тоді}$$

$$W = \frac{2.34 \cdot 0,90}{0.16 \cdot \frac{0,028}{2} + \frac{0.16 \cdot \frac{0,028}{2}}{\sin \frac{90}{2}}} = 264H$$

					<b>БР.ПМ- 584.00.000 ПЗ</b>	Арк.
Змн.	Арк.	№ докум.	Підпис	Дата		36

## Вибір типу затискача та його конструктивних розмірів

Правильний вибір типу затискача та визначення його основних конструктивних розмірів є важливим етапом проектування пристрою для надійного закріплення деталі в процесі обробки. Від цього залежить не лише точність і стабільність обробки, але й загальна ефективність технологічного процесу. У цьому підпункті обґрунтовується доцільність застосування конкретного типу затискача відповідно до форми, розмірів та особливостей деталі, а також подається розрахунок основних геометричних параметрів затискного елемента.

Складаємо рівняння рівноваги згідно рисунка 6, враховуючи силу затиску двома важелями у двох місцях тому формула має вигляд:

$$Wl_2 = \frac{Ql_1}{2 \cdot \cos 30^\circ} \Rightarrow W = \frac{Ql_1}{2l_2 \cos 30^\circ} = \frac{264 \cdot 60}{2 \cdot 40 \cdot \cos 30^\circ} = 228 \text{ Н}$$

Розрахунок початкової сили рушії та його конструктивно-розмірні параметри.

В якості рушії використовуємо пневмоциліндр рисунок 6

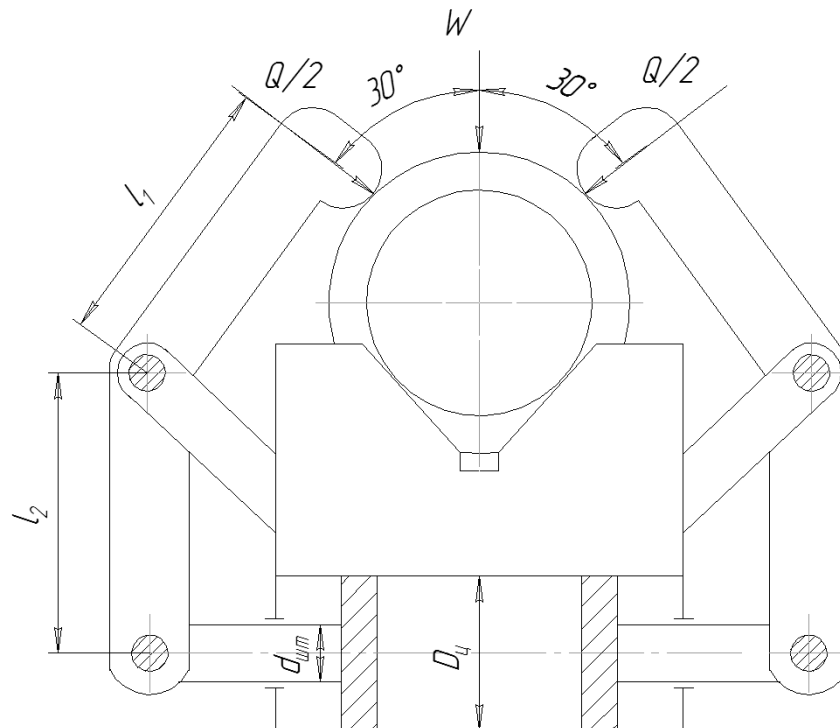


Рисунок 6 – Схема дії сил при затиску

Затисуємо рівняння сили закріплення через діаметр поршня пневмо-

					БР.ПМ- 584.00.000 ПЗ	Арк.
Змн.	Арк.	№ докум.	Підпис	Дата		37

циліндра (рисунок б) і таким чином визначимо  $D_{ц}$ .

$$D_{ц} = \sqrt{\frac{4Q}{p\pi\eta}}, \text{ де } p = 0,4 \text{ МПа},$$

$\eta = 0,8$  - коефіцієнт корисної дії

$$D_{ц} = \sqrt{\frac{4 \cdot 228}{0,4 \cdot 3,14 \cdot 0,8}} = 30,1 \text{ мм}$$

По ГОСТ 15608-70 приймаємо  $D_{ц} = 32$  мм.

Визначаємо дійсну силу рушія

$$Q = \frac{\pi D_{ц}^2}{4} p \eta = \frac{3,14 \cdot 32^2}{4} \cdot 0,4 \cdot 0,8 = 257 \text{ Н}$$

Визначаємо дійсну силу затиску

$$Q = \frac{4Wl_2}{l_1} = \frac{2 \cdot 257 \cdot 40 \cdot \cos 30}{60} = 296 \text{ Н}$$

$296 > 264$  – затиск надійний

### **Розрахунок на міцність і зносостійкість найбільш навантажених елементів пристрою.**

У конструкції затискного пристрою існують елементи, які під час експлуатації зазнають найбільших навантажень — це, зокрема, затискні губки, гвинтові затискачі, упори, а також напрямні поверхні. Надійність і довговічність усього пристрою залежить від здатності цих компонентів витримувати робочі зусилля без деформацій і руйнування, а також від їхньої зносостійкості у багатоцикловому режимі роботи.

В спроектованому пристрої слабкою ланкою є вісь, на яку встановлений важіль. Проводимо перевірку вісі на зріз в поперечному перерізі.

Матеріал вісі — Сталь 45 ГОСТ 1050-88 (позиція 11)

допустиме напруження при зрізі  $[\tau_{зр}] = 123$  МПа

Умова міцності на зріз:

$$\tau_{зр} = \frac{R}{A} \leq [\tau_{зр}]$$

де:  $\tau_{зр}$  - напруження на зріз для матеріалу важеля, МПа;

					БР.ПМ- 584.00.000 ПЗ	Арк.
Змн.	Арк.	№ докум.	Підпис	Дата		38

R- максимальне зусилля зрізу у небезпечному перерізі, Н;

A- площа поперечного перерізу небезпечної ділянки, мм<sup>2</sup>;

$$A=0,785 \cdot d^2=0,785 \cdot 6^2=28.26 \text{ мм}^2$$

R=296Н;

$$\tau_{зр} = \frac{296}{28,26} = 10,47 \text{ МПа.}$$

В даному випадку  $\sigma_p \leq [\sigma_p]$  (10.47<123), отже умова міцності на зріз витримується.

### Розрахунок опори на зносостійкість.

Характеристикою стійкості проти спрацювання призми служить зносостійкість *C*, під якою розуміють кількість установок *N* заготовок у пристрій, яка викликає зміну розміру опори на 1 мкм.

Спрацювання призми визначається:

$$Y = \frac{1}{\sin \alpha / 2} \left[ \frac{C_m \cdot q}{10K_{cn}} + \frac{1,15C_e}{K_{cn}^{0,4}} (q/d)^{0,2} + 1,07 \frac{C_m}{K_{cn}^{5(V_0+V_3)}} (q/d)^{\frac{1}{10(V_0+V_3)}} \right]$$

q=296 Н – сумарне лінійне навантаження, що діє по нормалі до робочих поверхонь призми, Н/мм;

d=28 мм – діаметр циліндричної поверхні заготовки;

r<sub>сп</sub> – радіус спрацьованої сферичної опори, мм;

$$r_{cn} = \frac{r^2}{r - 8u}$$

r – радіус виготовлення сферичної опори, мм;

u – лінійне спрацювання опори, мм;

α – кут призми, град;

v – безрозмірні параметри опорної кривої;

K<sub>сп</sub> – безрозмірний коефіцієнт, що враховує вплив спрацювання призми;

$$K_{cn} = \sqrt{R_{cn}(R_{cn} - 0,5d)}$$

R<sub>сп</sub> – радіус спрацьованої поверхні призми, мм;

					<i>БР.ПМ- 584.00.000 ПЗ</i>	Арк.
Змн.	Арк.	№ докум.	Підпис	Дата		39

$$R_{cn} = 0,125 \left[ 2\sqrt{d \cdot u} + (0,5 \cdot Td + u) \operatorname{ctg} \frac{\alpha}{2} \right]^2 \cdot \frac{1}{u}$$

$C_M, C_B, C_m$  – безрозмірні коефіцієнти;

Згідно [8]с. 40  $r_{cn}=r, u=0; K_{сп}=1;$

$C_M=0,027; K=0,82; \alpha=0,695; K_1=0,62; \alpha_1=0,55;$

$C_B=K=(1+W_3)^\alpha$

$W_3=10 \text{ мкм}; v_3=1,94 \text{ мкм}; [8]с. 40 \text{ табл. 1.6}; v_o=1,4;$

$$R_{cn} = 0,125 \left[ 2\sqrt{0,028 \cdot 0} + (0,5 \cdot 0,2 + 0) \operatorname{ctg} \frac{90}{2} \right]^2 \cdot \frac{1}{0} = 0,012 \text{ мм};$$

$$C_B=K=(1+10)^{0,695}=5,29;$$

$$K_{cn} = \sqrt{0,012(0,012 - 0,5 \cdot 0,028)} = 0,009;$$

$$Y = \frac{1}{90/2} \left[ \frac{0,027 \cdot 549,5}{0,009} + \frac{1,15 \cdot 5,29}{0,009^{0,4}} (296/28)^{0,2} + 1,07 \frac{1}{0,027^{\frac{1}{5(1,4+1,94)}}} (296/28)^{\frac{1}{10(1,4+1,94)}} \right] = 0,14 \text{ мкм}$$

### Розрахунок пристрою на точність

Опора є одним із ключових елементів пристрою для закріплення деталі, адже вона безпосередньо контактує із заготовкою та сприймає значну частину осьового навантаження під час обробки. Через багаторазове механічне тертя в зоні контакту, опора піддається інтенсивному зносу. Для забезпечення надійної та довготривалої експлуатації необхідно виконати оцінку її зносостійкості та підібрати оптимальні конструктивні рішення.

Основні фактори, що впливають на зношування:

- Контактний тиск, що виникає в зоні дотику з деталлю;
- Коефіцієнт тертя між опорною поверхнею та заготовкою;
- Число циклів навантаження (кількість установок/зняття деталі);
- Матеріал опори та тип її поверхневої обробки;

У запропонованій схемі обробки похибка по розміру  $b$  зумовлена не точністю пристрою, а виключно точністю виготовлення інструмента.

Щодо розміру  $3-0,25$ , похибка практично відсутня, оскільки

					<i>БР.ПМ- 584.00.000 ПЗ</i>	Арк.
Змн.	Арк.	№ докум.	Підпис	Дата		40

конструкторська база збігається з технологічною. Усі відхилення можуть виникати лише внаслідок похибки позиціювання інструменту.

Похибка на розмір 20 також не пов'язана з точністю пристрою — вона залежить від точності налаштування верстата по координаті.

Для розміру 25–0,2 похибка визначається аналітично за відповідною формулою, що враховує сукупний вплив похибок базування, установки та налаштування обладнання.

$$\delta = \frac{Td}{2 \cdot \sin \frac{\alpha}{2}} = \frac{0.084}{2 \cdot \sin \frac{90}{2}} = 0.031 \text{ мм}$$

Похибку пристрою визначаємо за формулою:

$$\varepsilon_{пр} = T - \kappa \sqrt{(\kappa_1 \varepsilon_{\delta})^2 + \varepsilon_3^2 + (\kappa_2 \omega)^2 + \varepsilon_{інд}^2 + \varepsilon_n}$$

Де  $\kappa_1=1,2$ ;  $\kappa_2=0,75$ ;  $\kappa_3=0,8$ ;

$$\omega = \varepsilon_{зм} + \varepsilon_t + \varepsilon_{ВПД} + \varepsilon_{знош.інстр.} = 0,03 + 0 + 0,05 + 0 = 0,08 \text{ мм}$$

$T=0,2$  мм

$\varepsilon_3=0$ , – напрям сили затиску співпадає з напрямом проставленого розміру.

$\varepsilon_{пр}=0,03$  – похибка від неточності виготовлення рухомих та нерухомих елементів пристрою;

$\varepsilon_{\delta}=0,023$  – похибки контролюючих розмірів

Похибка налаштування інструменту по установу визначається за формулою:

$$X = \varepsilon_{зн} + \varepsilon_{уст},$$

де  $\varepsilon_{зн}$  – похибка зношування інструменту,  $\varepsilon_{зн} = 0,03$  мм, та  $\varepsilon_{уст}$  – похибка установки та фіксації  $\varepsilon_{уст} = 0,01 \div 0,05$  мм, приймаємо  $\varepsilon_{уст} = 0,02$ . с 64 т 12.1[4].

Визначаємо похибку установу  $X = 0,03 + 0,02 = 0,05$  мм.

$\varepsilon_n=0,02$  – похибка наладки;

$\varepsilon_{г.т.}=0,03$  – похибка геометричної точності;

$\varepsilon_t=0$  – похибка від температурного фактору;

$\varepsilon_{ВПД}=0,05$  – жорсткість системи ВПД.

					<i>БР.ПМ- 584.00.000 ПЗ</i>	Арк.
Змн.	Арк.	№ докум.	Підпис	Дата		41

$\mathcal{E}_{\text{зном.інстр.}}=0$  – інструмент гострий.

Тоді похибка рівна:

$$\varepsilon_{np} = 0,2 - 1,2 \sqrt{(0,75 \cdot 0,031)^2 + 0 + (0,8 \cdot 0,08)^2 + 0 + 0,05^2} = 0,102 \text{ мм}$$

### Розрахунок економічної доцільності розробленої конструкції пристрою.

Економічна доцільність використання пристрою виражається залежністю:

$$eN \geq P$$

де:  $P$  – річні затрати на експлуатацію одного пристрою, залежить від вартості пристрою;

$N=10000$  шт. – річна партія деталей;

$e$  – економія на зарплаті, затратах на експлуатацію обладнання:

$$e = \Delta t_k (l_t \cdot \frac{S_{\text{м.г.}}}{60}), \text{ грн.};$$

де:  $S_{\text{м.г.}}=8,2$  грн. – витрати на машино-годину роботи верстату;

$\Delta t_k$  – зниження трудомісткості на одну операцію (беремо з попередніх розрахунків і вона становить  $0,16$ хв.);

$l_t=14,4$  грн. – тарифна ставка на одній операції

$$e = 0,24((14,4 \cdot 8,2) / 60) = 0,47 \text{ грн}$$

Річні затрати на один пристрій

$$P = S_{\text{нсп}} (K_{\text{ансп}} + K_{\text{енсп}})$$

де:  $S_{\text{нсп}}=15000$  грн. – собівартість виготовлення пристрою;

$K_{\text{ансп}}=1/T=1/5=0,2$  – коефіцієнт амортизації

$T=5$  – термін експлуатації пристрою

$K_{\text{енсп}}=1,2$

$$P = 15000(0,2 + 1,2) = 21000 \text{ грн}$$

$$eN = 0,47 \cdot 10000 \cdot 5 = 23500 \text{ грн}$$

В даному випадку застосування пристрою економічно вигідно, оскільки

$$eN \geq P.$$

					БР.ПМ- 584.00.000 ПЗ	Арк.
Змн.	Арк.	№ докум.	Підпис	Дата		42

## **Вимоги техніки безпеки при використанні та проєктуванні пристрою**

Застосування будь-якого пристрою для закріплення заготовки на металорізальних верстатах, зокрема на фрезерних, потребує суворого дотримання встановлених норм і правил техніки безпеки. Це дозволяє не лише уникнути аварійних ситуацій, а й забезпечити безпечні та комфортні умови праці для оператора.

Загальні вимоги техніки безпеки при експлуатації пристрою:

Під час роботи з пристроєм необхідно виконувати загальні правила безпечної експлуатації фрезерних верстатів:

- Надійно закріплювати як інструмент, так і заготовку перед початком обробки;
- Категорично заборонено змінювати інструмент або режими обробки при обертанні шпинделя;
- Робота повинна проводитися виключно в спецодязі, захисних окулярах та за необхідності — в рукавицях;
- Оператор повинен постійно контролювати технічний стан верстата, перевіряти справність усіх систем перед запуском;
- Необхідно дотримуватись чистоти на робочому місці, уникати накопичення стружки чи мастильно-охолоджувальних рідин на поверхнях, що можуть спричинити ковзання або загрозу займання;
- Заборонено проводити ремонтні або налагоджувальні роботи під час роботи верстата;
- Важливо постійно контролювати стан елементів пристрою, особливо при серійному виробництві.

*Вимоги до конструкції пристрою з погляду техніки безпеки:*

На етапі проєктування пристрою необхідно враховувати наступні вимоги для забезпечення безпечної експлуатації:

1. Безпечна форма зовнішніх поверхонь — усі частини пристрою повинні бути заокругленими, без гострих кромek, кутів або виступів, які можуть

					<i>БР.ПМ- 584.00.000 ПЗ</i>	Арк.
Змн.	Арк.	№ докум.	Підпис	Дата		43

спричинити травми;

2. Компактність і зручність — елементи конструкції не повинні перешкоджати огляду зони обробки або ускладнювати доступ до органів керування верстатом;
3. Надійність кріплення — пристрій має бути жорстко закріплений на робочій поверхні верстата, з мінімальним люфтом чи переміщенням;
4. Безпечне встановлення та зняття заготовки — конструкція повинна забезпечувати зручність та надійність у фіксації заготовки без загрози защемлення рук або падіння деталі;
5. Мобільність і адаптивність — пристрій бажано передбачити як універсальний або такий, що легко адаптується до інших типорозмірів деталей;
6. Свобода відведення стружки та МОР — конструкція повинна забезпечувати безперешкодне виведення стружки і стікання мастильно-охолоджувальної рідини для запобігання їх накопиченню в зоні різання;
7. Відсутність втручання під час роботи — не допускається здійснення будь-якого технічного втручання в пристрій або його частини під час обертання шпинделя чи руху каретки;
8. Допустимий рівень вібрацій — при роботі пристрою вібрації не повинні перевищувати нормативні значення, передбачені стандартом ГОСТ 12.2.009–80, щоб уникнути додаткового навантаження на механізми верстата та підвищеного зношування вузлів.

Загалом дотримання зазначених вимог забезпечує надійну та безпечну роботу пристрою в умовах реального виробництва, запобігає аварійним ситуаціям і сприяє дотриманню трудової дисципліни та охорони праці.

					<i>БР.ПМ- 584.00.000 ПЗ</i>	Арк.
Змн.	Арк.	№ докум.	Підпис	Дата		44

## Опис конструкції та принцип роботи пристрою

Пристрій призначений для фрезерування пазів і забезпечує базування по зовнішній циліндричній поверхні та торцю вала. Він складається з корпусу (1), кришки (2), штока (3), двох важелів (4), установочних призм (5) та підкладок під призми (6).

Принцип роботи пристрою полягає в тому, що під впливом тиску стисненого повітря, яке подається в штокову порожнину циліндра, поршні разом зі штоком одночасно розходяться, повертають важелі та здійснюють затиск заготовки.

Пристрій монтується на столі верстата як єдиний вузол, який включає корпус (1), установочні призми, спарені циліндри, інтегровані з корпусом, два штоки та два важелі для виконання затиску.

## Спосіб налагодження пристрою

Після встановлення деталі для першої оброблюваної заготовки інструмент налаштовують у потрібне положення, яке автоматично фіксується системою, що забезпечує стабільність і точність обробки. Протягом роботи з партією деталей фрези та свердла піддаються природному зносу в процесі експлуатації, що призводить до поступового зменшення їхньої ефективності та точності обробки. Навіть після кількох циклів переозагострення інструмент може втрачати здатність підтримувати задані розміри з необхідною точністю. Саме тому після проведення переозагострення фрези та свердла повторно встановлюють по спеціально передбачених в конструкції пристрою контрольних площинах. Це дозволяє мінімізувати похибки і відновити потрібну позицію інструментів з високою точністю. Значення похибки при виставленні інструменту було розраховане раніше і враховується для забезпечення якісного оброблення деталей.

					<i>БР.ПМ- 584.00.000 ПЗ</i>	Арк.
Змн.	Арк.	№ докум.	Підпис	Дата		45

## 2.2 Розрахунок контрольного пристрою

### 2.2.1 Опис та принцип роботи пристрою

Ступінчасті вали зазвичай передають механізмам значні крутні моменти. Для їх безперебійної та тривалої роботи надзвичайно важливим є забезпечення високої точності виготовлення основних робочих поверхонь валів як за діаметральними розмірами, так і за їхнім точним розташуванням.

Процес контролю передбачає здебільшого повну перевірку лінійного розміщення та радіального биття шийок ступінчастих валів. Цю перевірку зазвичай виконують на багатомірних контрольних пристроях.

На корпусі (4) за допомогою гвинтів (16) та шайб (21) закріплена передня бабка (1) з нерухомим центром (11). Осьове положення вала фіксується саме нерухомим центром (11). Вал притискається до центру пружиною (14), розташованою в центральному осьовому отворі пінолі (6) і діючою на перехідник (8). Піноль (6) змонтована на передній бабці (1) з можливістю обертання навколо поздовжньої осі завдяки втулкам (5). З лівого кінця пінолі, на шпонці, встановлено маховичок (15) з рукояткою (3), який фіксується шайбою (25) та штифтом (27).

Обертний рух при вимірюванні через вісь (21), запресовану в піноль (6) та розміщену в овальному отворі перехідника (8), передається самому перехіднику (8). Крім того, перехідник має циліндричний осьовий отвір діаметром  $d$ . Конусність центру залежить від допуску  $T$  та діаметра отвору  $d$  валу і визначається за відповідною формулою. Для практичних цілей рекомендується використовувати стандартне значення конусності  $K$ .

У чотирьох стійках (23), закріплених до корпусу (4) за допомогою штифтів (26) і гвинтів (27), встановлені вали (2), по яких переміщуються кронштейни (7) і фіксуються гвинтами (28).

Пристрій ІГ-2 використовується для перевірки радіального та осьового биття ступенів контрольованого валу. Вал отримує один-два оберти, після чого

					<i>БР.ПМ- 584.00.000 ПЗ</i>	Арк.
Змн.	Арк.	№ докум.	Підпис	Дата		46

знімаються максимальні покази ІГ-2, що визначають величину биття. Похибка вимірювання пристрою при такій схемі установки становить 0,005 мм, що відповідає вимогам точності контролю

### 2.2.2 Розрахунок пристрою на точність

В процесі вимірювання радіального, зовнішньої поверхні деталі можуть виникнути наступні похибки: похибка базування  $\varepsilon_{\delta}$ ; похибка вимірювання  $\varepsilon_{\epsilon}$ . Допуск на відхилення від радіального биття поверхні рівний  $T=0,05\text{мм}$ . Виходячи з цього ми будемо вести розрахунок пристрою буручи до уваги похибку базування, яка залежить від допуску ( $T=0,02\text{мм}$ ) довжину розміру, що контролюється.

$$\varepsilon_{np} = T - 1.2 \cdot \sqrt{\varepsilon_{\delta} + \varepsilon_{\epsilon}},$$

де  $\varepsilon_{\delta}$  – похибка базування;

$$\varepsilon_{\delta} = ITP = 0\text{мм}$$

$\varepsilon_{\epsilon}$  – похибка вимірювання,

$$\varepsilon_{\epsilon} = \frac{1}{2} \Delta = \frac{1}{2} \cdot 0.005 = 0.0025 \text{ мм};$$

де  $\Delta$  – ціна поділки мікрометра;  $\Delta = 0,005\text{мм}$ ;

$$\varepsilon_{np} = 0,04 - 1.2 \cdot \sqrt{0,02^2 + 0,0025^2} = 0,016\text{мм}$$

Отже похибка пристрою не повинна перевищувати величину  $\varepsilon_{np} = 0.016\text{мм}$ .

					<i>БР.ПМ- 584.00.000 ПЗ</i>	Арк.
Змн.	Арк.	№ докум.	Підпис	Дата		47

### 3. Розробка керуючої програми на верстат з числовим програмним керуванням (ЧПК) в середовищі Inventor CAM.

У сучасному машинобудуванні керуючі програми для верстатів з числовим програмним керуванням (ЧПК) є ключовим елементом автоматизованого виробництва. Завдяки використанню САМ-систем, зокрема Inventor CAM, інженери мають змогу автоматизувати створення траєкторій обробки на основі геометрії моделі. САМ-системи не тільки формують G-код, а й забезпечують можливість візуалізації процесу, що знижує ймовірність помилок.

Inventor CAM (раніше HSM) — інтегроване середовище в складі Autodesk Inventor, що дозволяє безпосередньо в CAD-середовищі здійснювати налаштування обробки, вибір інструментів, створення траєкторій і генерацію G-коду для верстатів з ЧПК.

#### *Вибір типу верстата та умов обробки*

Для токарної обробки деталі «Вал-шестерня ПМК-584.00.000» було обрано високоточний верстат DMG MORI CLX 350, оснащений системою керування Fanuc-Turning. Основні характеристики верстата:

- Максимальний діаметр обробки: 320 мм;
- Максимальна довжина обробки: 530 мм;
- Потужність приводу головного шпинделя: до 13 кВт;
- Швидкість обертання шпинделя: до 5000 об/хв.

Зазначені характеристики відповідають вимогам до обробки валів середнього розміру з високою точністю.

#### *Підготовка 3D-моделі деталі*

Модель деталі була створена у середовищі Autodesk Inventor згідно з конструкторською документацією. Геометрія включає такі ключові елементи:

- Декілька циліндричних ділянок з різними діаметрами;
- Зубчасті поверхні  $m=9$ ;  $z=18$

					<i>БР.ПМ- 584.00.000 ПЗ</i>	Арк.
Змн.	Арк.	№ докум.	Підпис	Дата		48

- Канавка під стопорне кільце;
- Метрична різьба М20;
- Фаски та радіуси переходу.

Модель має точність до 0,01 мм, що дозволяє уникнути похибок при генерації траєкторій обробки.

#### *Створення проекту обробки в Inventor CAM*

У САМ-середовищі було створено новий проект обробки. Визначено тип обробки — Turning (токарна). Задано координатну систему: вісь Z — напрямок осі обертання, вісь X — поперечна. За базову точку обрано лівий торець заготовки.

#### *Налаштування заготовки*

Тип заготовки — циліндрична, матеріал — сталь 45, припуски:

По діаметру — 2 мм;

По довжині — 3 мм;

#### *Вибір інструменту*

Для кожної операції був обраний відповідний інструмент із бази даних САМ: Токарний різець Sandvik CNMG 120408 — для чорнової та чистової обробки; Канавочний різець MGMN 300 — для прорізання канавки; Інструменти мають ріжучі пластини з твердого сплаву Р30 для обробки сталей.

#### *Створення технологічних операцій*

Згідно попередніх розрахунків в записці у першому розділі.

#### *Верифікація траєкторій*

Після генерації траєкторій була проведена симуляція токарної операції у середовищі Inventor CAM. Виявлено, що траєкторії коректно обходять геометрію деталі, не допускають зрізу надлишкового матеріалу, немає зіткнень.

Також виконано аналіз залишків матеріалу після кожної операції (Stock simulation), що дозволило уточнити чистову обробку та скорегувати подачу.

#### *Генерація керуючої програми (G-коду)*

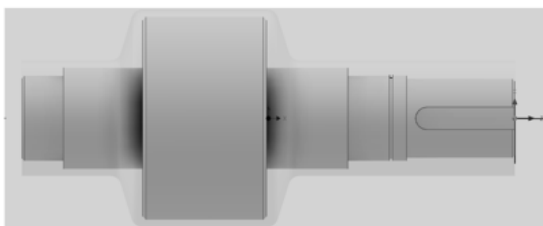
Остаточним етапом стало формування G-коду з використанням

					<i>БР.ПМ- 584.00.000 ПЗ</i>	Арк.
Змн.	Арк.	№ докум.	Підпис	Дата		49

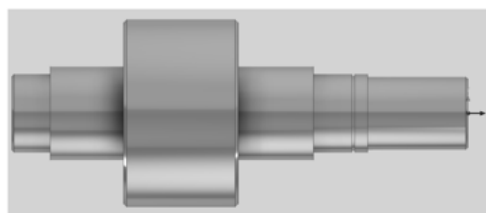
постпроцесора Fanuc-Turning. Файл має формат .NC та містить:

- Визначення баз;
- Виклик інструментів;
- Команди руху (G00, G01, G76 тощо);
- Команди шпинделя та охолодження (M03, M08, M30).

### *Візуалізація результату обробки деталі в операції O15*

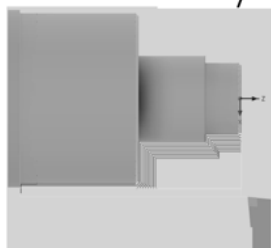


*Заготовка (на вході)*

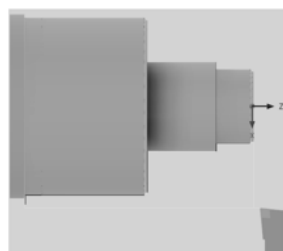


*Деталь (на виході)*

### *Токарна обробка зправа*

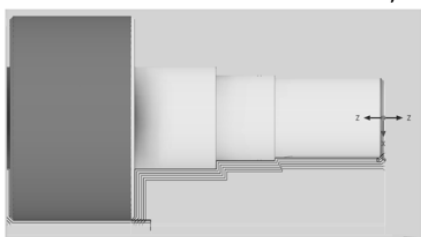


*Траєкторія руху різального інструменту при чорновому точінні*

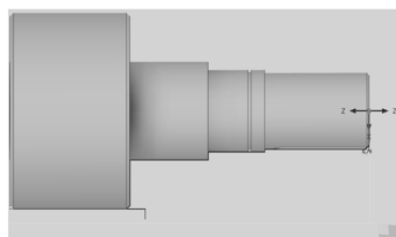


*Траєкторія руху різального інструменту при чистовому точінні*

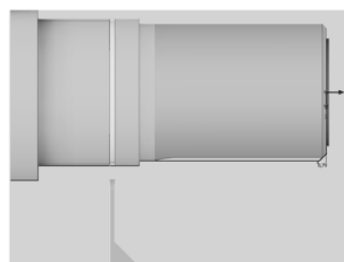
### *Токарна обробка зліва*



*Траєкторія руху різального інструменту при чорновому точінні*



*Траєкторія руху різального інструменту при чистовому точінні*



*Траєкторія руху різального інструменту при обробці канавки 2,8 x 1,5 мм*

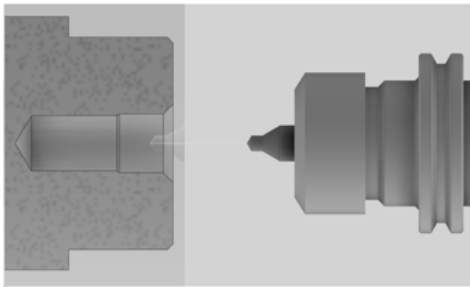
Змн.	Арк.	№ докум.	Підпис	Дата

БР.ПМ- 584.00.000 ПЗ

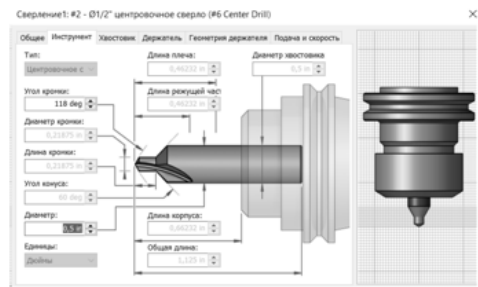
Арк.

50

# Послідовність обробки отвору

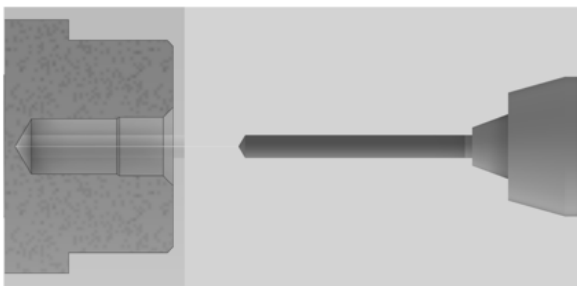


Траєкторія руху

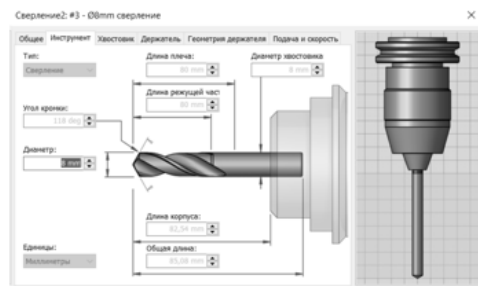


Геометрія різальної частини свердла

## Свердління центрувальним свердлом

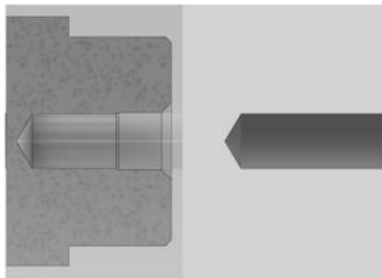


Траєкторія руху

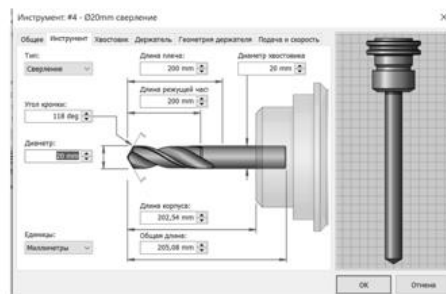


Геометрія різальної частини свердла

## Свердління отвору $\phi 8$ мм

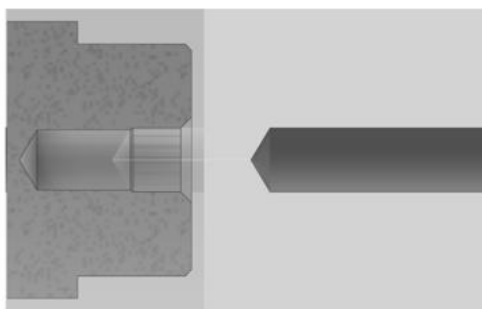


Траєкторія руху

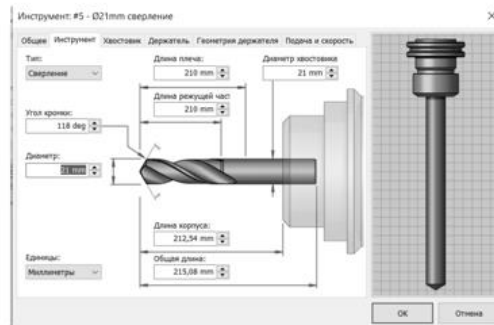


Геометрія різальної частини свердла

## Розсвердлення отвору до $\phi 20$ мм



Траєкторія руху



Геометрія різальної частини свердла

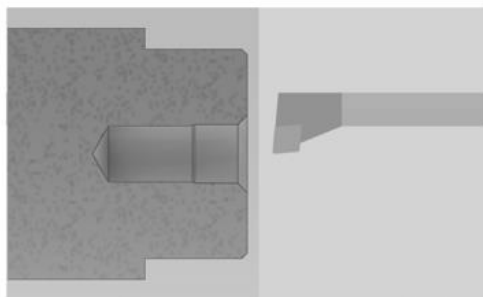
Змн.	Арк.	№ докум.	Підпис	Дата

БР.ПМ- 584.00.000 ПЗ

Арк.

51

## *Розсвердлення отвору до $\phi 21$ мм на глибину 18,9 мм*



### *Формування фаски 3,5x45°*

Отже у даному розділі було проведено комплексну розробку керуючої програми для токарної обробки деталі «Вал-шестерня ПМК-584.00.000» у середовищі Inventor CAM, що є сучасним програмним інструментом для інтегрованого проєктування та виготовлення.

Здійснено поетапне моделювання процесу обробки — від вибору типу верстата, визначення базової установки деталі та налаштування параметрів обробки до генерації G-коду. САМ-середовище забезпечило високий рівень інтеграції між конструкторською та технологічною частинами, що дало змогу:

- значно скоротити час на розробку керуючої програми;
- мінімізувати людські помилки завдяки візуальній симуляції;
- точно підібрати режими різання та інструменти згідно з матеріалом заготовки;
- забезпечити ефективне використання ресурсу верстата і різального інструменту.

Проведена верифікація траєкторій обробки засвідчила їхню коректність, безпечність і економічну доцільність. Усі основні операції — торцювання, чорнова й чистова обробка, прорізання канавки та нарізання різьби — реалізовані в цифровому вигляді й можуть бути використані як основа для серійного виробництва.

Генерація G-коду для системи керування Fanuc-Turning дозволяє безпосередньо застосовувати отриману програму на реальному обладнанні, без додаткових доробок. Таким чином, результат розробки має не лише навчальну,

					<i>БР.ПМ- 584.00.000 ПЗ</i>	Арк.
Змн.	Арк.	№ докум.	Підпис	Дата		52

а й прикладну цінність.

У результаті проведених робіт було підтверджено доцільність використання Inventor CAM у реальних умовах машинобудівного підприємства. CAM-технології є ключовим елементом цифрового виробництва та Індустрії 4.0, і їх застосування значно підвищує конкурентоспроможність продукції завдяки точності, надійності та можливості оперативної адаптації до нових умов.

					<i>БР.ПМ- 584.00.000 ПЗ</i>	Арк.
Змн.	Арк.	№ докум.	Підпис	Дата		53

## ВИСНОВКИ

У результаті виконання бакалаврської кваліфікаційної роботи було успішно розроблено повний технологічний процес виготовлення деталі «Вал-шестерня ПМК-584.00.000» для умов серійного виробництва. У процесі роботи було проаналізовано призначення деталі, її конструкцію, функції у складі вузла, а також визначено основні технічні вимоги до геометричних параметрів, точності та шорсткості поверхонь.

Проведено аналіз технологічності конструкції деталі, що дозволило виявити її відповідність умовам механічної обробки та обґрунтувати вибір оптимального способу отримання заготовки. На основі річної програми випуску визначено тип виробництва, що дало можливість сформулювати раціональний маршрут обробки, з урахуванням ефективного використання верстатного парку.

У межах технологічної частини було розроблено маршрут обробки з призначенням припусків на кожній операції, обрано оптимальні режими різання та проведено розрахунок основного машинного часу. Здійснено технічне нормування усіх операцій, що забезпечує планування трудових і матеріальних ресурсів при виготовленні деталі.

У конструкторській частині спроектовано спеціальний пристрій для закріплення заготовки під час обробки. Подано його призначення, принцип дії, опис конструкції та виконано розрахунок сили затиску. Також виконано розрахунок контрольного інструменту для перевірки точності оброблених поверхонь та розроблено програму обробки для верстата з числовим програмним керуванням (ЧПК), що забезпечує автоматизацію процесу виготовлення.

Результати розробки підтверджують ефективність обраного технологічного рішення та свідчать про можливість його практичного застосування у серійному виробництві. Запропонована технологія дозволяє підвищити точність виготовлення, скоротити витрати часу на обробку та забезпечити стабільну якість готової продукції.

					<i>БР.ПМ- 584.00.000 ПЗ</i>	Арк.
Змн.	Арк.	№ докум.	Підпис	Дата		54

## Перелік використаних джерел

1. Панчук В.Г., Карпик Р.Т., Врюкало В.В., Одосій З.М. П - 14. Бакалаврська робота: методичні вказівки. Івано-Франківськ: ІФНТУНГ, 2021. 50 с.
- 2 П.І. Войтенко Методичні вказівки до виконання курсового проекту з дисципліни “Технологія машинобудування” для спеціальності 7.090202 – технологія машинобудування – Івано-франківськ: Факел, 2000. – 77с.
- 3 Дипломне проектування. Методичні вказівки до виконання технологічної частини дипломного проекту спеціальності 1201 – технологія машинобудування. – Івано-Франківськ: ІФІНГ, 1990.–58с.
- 4 Карпик Р. Т. Технологічна оснастка. Методичні вказівки / Р. Т. Карпик. – Івано-Франківськ: ІФНТУНГ, 2020 – 120 с.
- 5.Холоша В.І. Технологічна оснастка: навч. посіб. / В.І. Холоша, В.В. Проців, О.О. Богданов ; М-во освіти і науки України, Нац. гірн. ун-т. – Дніпропетровськ : НГУ, 2016. – 133 с.
- 6 ДСТУ 7505-80. Поковки стальные штампованные. Допуски, припуски и кузнечные напуски.
- 7 Проектування оснастки. Методичні вказівки до виконання розрахункових та контрольних робіт для студентів усіх форм навчання спеціальності 7.090202 – технологія машинобудування. – Івано-Франківськ: ІФДТУНГ, 2000. – 110 с.
- 8 Гуляев А.П. Технологія машинобудування: Підручник. — К.: Вища школа, 2008. — 512 с.
- 9 Шапіро В.Д., Чеканов В.М. Процеси виготовлення деталей машин. — К.: Либідь, 2011. — 368 с.
- 10 Ільїн Ю.М. Основи технології машинобудування: навч. посіб. — Харків: ХНАДУ, 2013. — 280 с.
- 11 Попович М.І., Гаврилюк М.В. Різання матеріалів та інструмент. — Львів: Афіша, 2010. — 264 с.
- 12 Ємельянов С.М. Проектування технологічних процесів механічної обробки. — К.: НАУ, 2016. — 344 с.

					<i>БР.ПМ- 584.00.000 ПЗ</i>	Арк.
Змн.	Арк.	№ докум.	Підпис	Дата		55

13 Гринько В.І. Технологія машинобудування. Частина І: Основи технології обробки. — К.: Освіта України, 2015. — 416 с.

14 Grote, K.-H., Antonsson, E.K. (Hrsg.): Springer Handbook of Mechanical Engineering. Springer-Verlag, Berlin Heidelberg, 2014. — 1580 S.

15 Decker, H., Kienzle, O.: Fertigungstechnik. Band 1: Drehen, Fräsen, Bohren. Springer Vieweg, Wiesbaden, 2012. — 372 S.

16 Klocke, F.: Fertigungsverfahren 1 – Drehen, Fräsen, Bohren. 10. Auflage. Springer Vieweg, Berlin Heidelberg, 2018. — 638 S.

17 Weck, M.: Werkzeugmaschinen: Konstruktion und Berechnung. Band 1. Springer-Verlag, Berlin Heidelberg, 2013. — 482 S.

18 Rehorn, A.G., Wang, P., Jiang, J.: Tool condition monitoring in machining: a review. International Journal of Advanced Manufacturing Technology, 2005, Nr. 26, S. 693–710.

19 Heine, R., Vöhringer, O.: Maschinenteile: Grundlagen, Gestaltung, Berechnung. Hanser Verlag, München, 2019. — 654 S.

20 DIN 3960 – 3967: Zahnräder – Begriffe, Toleranzen und Prüfverfahren. Deutsches Institut für Normung (DIN), Berlin.

21 Weck, M., Brecher, C. (Hrsg.): Handbuch Werkzeugmaschinen. Band 3: Steuerungen und Automatisierung. Springer Vieweg, Wiesbaden, 2006. — 460 S.

22 Wiendahl, H.-P.: Betriebsorganisation für Ingenieure. Hanser Verlag, München, 2011. — 320 S.

23 Neugebauer, R. (Hrsg.): Produktionsautomatisierung. Springer-Verlag, Berlin Heidelberg, 2006. — 512 S.

					<i>БР.ПМ- 584.00.000 ПЗ</i>	Арк.
Змн.	Арк.	№ докум.	Підпис	Дата		56

# ДОДАТКИ

					<i>БР.ПМ- 584.00.000 ПЗ</i>	Арк.
Змн.	Арк.	№ докум.	Підпис	Дата		57

## Керуюча програма в середовищі постпроцесора Fanuc-Turning

<p>%</p> <p>O1001 (70)</p> <p>N10 G98 G18</p> <p>N11 G21</p> <p>N12 G50 S6000</p> <p>N13 G28 U0.</p> <p>N14 G28 W0.</p> <p>( 8)</p> <p>N15 T0100</p> <p>N16 G54</p> <p>N17 M8</p> <p>N18 G99</p> <p>N19 G97 S141 M3</p> <p>N20 G0 X207. Z8.</p> <p>N21 G50 S2000</p> <p>N22 G96 S91 M3</p> <p>N23 G0 Z1.18</p> <p>N24 X115.028</p> <p>N25 G1 X112.2 Z-0.234 F0.127</p> <p>N26 Z-21.48</p> <p>N27 X127.2</p> <p>N28 Z-88.2</p> <p>N29 X187.</p> <p>N30 X189.828 Z-86.786</p> <p>N31 G0 Z1.18</p> <p>N32 X111.028</p> <p>N33 G1 X108.2 Z-0.234 F0.127</p> <p>N34 Z-22.545</p> <p>N35 X123.2</p> <p>N36 Z-90.2</p> <p>N37 X186.815</p> <p>N38 X187. Z-90.293</p> <p>N39 X191.</p> <p>N40 G0 Z1.18</p> <p>N41 X107.028</p> <p>N42 G1 X104.2 Z-0.234 F0.127</p> <p>N43 Z-23.7</p> <p>N44 X119.2</p> <p>N45 Z-92.2</p> <p>N46 X185.158</p> <p>N47 X187. Z-93.121</p> <p>N48 X191.</p> <p>N49 G0 Z1.18</p> <p>N50 X103.028</p> <p>N51 G1 X100.2 Z-0.234 F0.127</p> <p>N52 Z-24.976</p> <p>N53 X115.2</p>	<p>N54 Z-94.2</p> <p>N55 X183.501</p> <p>N56 X187. Z-95.95</p> <p>N57 X191.</p> <p>N58 G0 Z1.18</p> <p>N59 X99.028</p> <p>N60 G1 X96.2 Z-0.234 F0.127</p> <p>N61 Z-26.418</p> <p>N62 X111.2</p> <p>N63 Z-96.2</p> <p>N64 X181.844</p> <p>N65 X187. Z-98.778</p> <p>N66 X191.</p> <p>N67 G0 Z1.18</p> <p>N68 X95.028</p> <p>N69 G1 X92.2 Z-0.234 F0.127</p> <p>N70 Z-28.116</p> <p>N71 X107.2</p> <p>N72 Z-98.2</p> <p>N73 X180.187</p> <p>N74 X187. Z-101.606</p> <p>N75 X191.</p> <p>N76 G0 Z1.18</p> <p>N77 X91.028</p> <p>N78 G1 X88.2 Z-0.234 F0.127</p> <p>N79 Z-30.1</p> <p>N80 X103.2</p> <p>N81 Z-100.2</p> <p>N82 X178.53</p> <p>N83 X187. Z-104.435</p> <p>N84 X191.</p> <p>N85 G0 Z1.766</p> <p>N86 X83.942</p> <p>N87 G1 Z-0.234 F0.127</p> <p>N88 X84.2 Z-0.363</p> <p>N89 Z-32.1</p> <p>N90 X99.2</p> <p>N91 Z-102.2</p> <p>N92 X176.874</p> <p>N93 X187. Z-107.263</p> <p>N94 X191.</p> <p>N95 G0 Z1.766</p> <p>N96 X78.285</p> <p>N97 G1 Z-0.234 F0.127</p> <p>N98 X80.2 Z-1.192</p> <p>N99 Z-34.1</p> <p>N100 X95.2</p> <p>N101 Z-104.2</p>
--	--

					<i>БР.ПМ- 584.00.000 ПЗ</i>	Арк.
Змн.	Арк.	№ докум.	Підпис	Дата		58

N102 X175.217  
N103 X185.2 Z-109.192  
N104 Z-231.837  
N105 G0 X189.2  
N106 Z1.766  
N107 X72.628  
N108 G1 Z-0.234 F0.127  
N109 X76.2 Z-2.02  
N110 Z-36.1  
N111 X91.2  
N112 Z-106.2  
N113 X173.56  
N114 X181.2 Z-110.02  
N115 Z-231.837  
N116 X185.2  
N117 G0 X207.  
N118 Z8.  
N119 G97 S141 M3

( 9)

N120 G99  
N121 G97 S141 M3  
N122 G0 X207. Z8.  
N123 G50 S2000  
N124 G96 S91 M3  
N125 G0 Z1.766  
N126 X70.531  
N127 G1 Z-0.234 F0.127  
N128 X75. Z-2.469  
N129 Z-36.9  
N130 X90.  
N131 Z-107.  
N132 X173.063  
N133 X180. Z-110.469  
N134 Z-231.837  
N135 X184.  
N136 G0 X207.  
N137 Z8.  
N138 G97 S141 M3

( 10)

N139 G99  
N140 G97 S141 M3  
N141 G0 X207. Z8.  
N142 G50 S2000  
N143 G96 S91 M3  
N144 G0 Z1.18  
N145 X92.828  
N146 G1 X90. Z-0.234 F0.127  
N147 Z-89.386  
N148 X95.

N149 Z-138.318  
N150 X110.  
N151 Z-210.  
N152 X181.347  
N153 X187. Z-212.826  
N154 X191.  
N155 G0 Z1.766  
N156 X85.056  
N157 G1 X85.055 Z-0.234 F0.127  
N158 X86. Z-0.707  
N159 Z-90.191  
N160 X91.  
N161 Z-140.016  
N162 X106.  
N163 Z-212.  
N164 X179.69  
N165 X187. Z-215.655  
N166 X191.  
N167 G0 Z1.766  
N168 X79.399  
N169 G1 Z-0.234 F0.127  
N170 X82. Z-1.535  
N171 Z-91.127  
N172 X87.  
N173 Z-142.  
N174 X102.  
N175 Z-214.  
N176 X178.033  
N177 X187. Z-218.483  
N178 X191.  
N179 G0 Z1.766  
N180 X73.742  
N181 G1 Z-0.234 F0.127  
N182 X78. Z-2.363  
N183 Z-92.292  
N184 X83.  
N185 Z-144.  
N186 X98.  
N187 Z-216.  
N188 X176.376  
N189 X185.188 Z-220.406  
N190 X189.188  
N191 G0 Z1.766  
N192 X68.085  
N193 G1 Z-0.234 F0.127  
N194 X74. Z-3.192  
N195 Z-94.  
N196 X79.  
N197 Z-146.  
N198 X94.  
N199 Z-218.

					<i>БР.ПМ- 584.00.000 ПЗ</i>	Арк.
Змн.	Арк.	№ докум.	Підпис	Дата		59

N200 X174.72  
 N201 X182.36 Z-221.82  
 N202 X186.36  
 N203 G0 Z1.766  
 N204 X62.428  
 N205 G1 Z-0.234 F0.127  
 N206 X70. Z-4.02  
 N207 Z-96.  
 N208 X75.  
 N209 Z-148.  
 N210 X90.  
 N211 Z-220.  
 N212 X173.063  
 N213 X179.531 Z-223.234  
 N214 X183.531  
 N215 G0 X207.  
 N216 Z8.  
 N217 G97 S141 M3  
  
 ( 11)  
 N218 G99  
 N219 G97 S141 M3  
 N220 G0 X207. Z8.  
 N221 G50 S2000  
 N222 G96 S91 M3  
 N223 G0 Z0.614  
 N224 X57.828  
 N225 G1 X55. Z-0.8 F0.127  
 N226 Z-88.  
 N227 X70.  
 N228 Z-96.  
 N229 X75.  
 N230 Z-109.135  
 N231 X74.608 Z-111.375  
 N232 X75.  
 N233 Z-148.  
 N234 X90.  
 N235 Z-220.  
 N236 X173.063  
 N237 X180. Z-223.469  
 N238 Z-327.835  
 N239 X160.746 Z-437.87  
 N240 X164.762  
 N241 G0 X207.  
 N242 Z8.  
 N243 G97 S141 M3  
 N244 M9  
 N245 G28 U0.  
 N246 G28 W0.

(1)  
 N247 M1  
 N248 T0700  
 N249 G54  
 N250 M8  
 N251 G99  
 N252 G97 S141 M3  
 N253 G0 X207. Z8.  
 N254 G50 S2200  
 N255 G96 S91 M3  
 N256 G0 Z-111.08  
 N257 X93.  
 N258 G1 X89. F0.127  
 N259 X72.386  
 N260 X93.  
 N261 G0 Z-111.1  
 N262 G1 X89. F0.127  
 N263 X72.386  
 N264 X74.386  
 N265 G0 X207.  
 N266 Z8.  
 N267 G97 S141 M3  
 ()  
  
 N268 M9  
 N269 G28 U0.  
 N270 G28 W0.  
 N271 M30  
 %

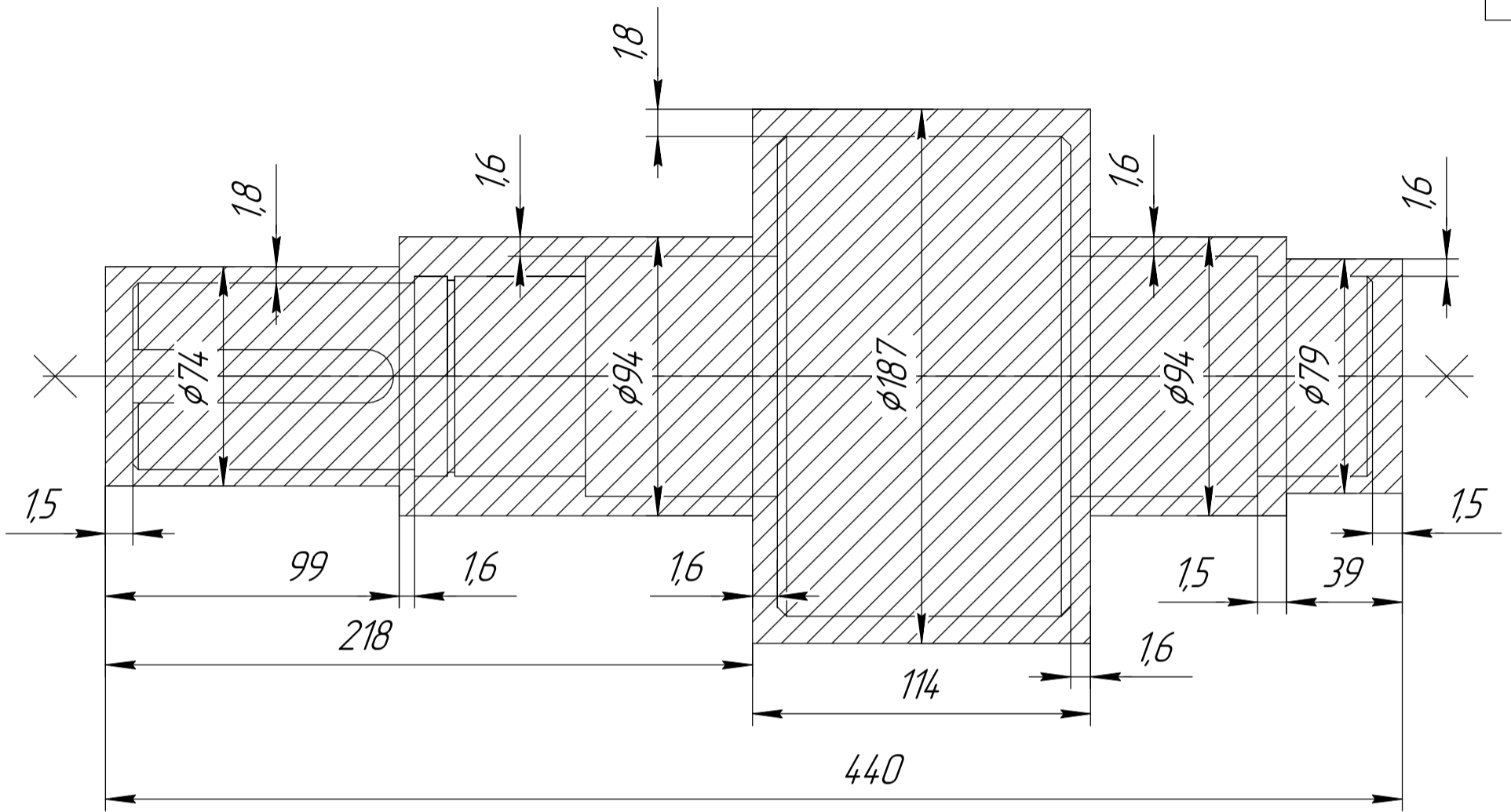
					<i>БР.ПМ- 584.00.000 ПЗ</i>	Арк.
Змн.	Арк.	№ докум.	Підпис	Дата		60

Формат	Зона	Поз.	Обозначение	Наименование	Кол.	Примечание	
							Формат
<i>Документація</i>							
A4			<i>БР.ПМ-584.00.000 ПЗ</i>	<i>Розрахунково-пояснювальна записка</i>			
A4			<i>БР.ПМ-584.00.000</i>	<i>Комплект технологічної документації</i>			
A1			<i>БР.ПМ-584.00.000 СК</i>	<i>Складальне креслення</i>			
<i>Деталі</i>							
		1	<i>БР.ПМ-584.00.001</i>	<i>Плита</i>	1		
		2	<i>БР.ПМ-584.00.002</i>	<i>Кришка</i>	4		
		3	<i>БР.ПМ-584.00.003</i>	<i>Поршень</i>	4		
		4	<i>БР.ПМ-584.00.004</i>	<i>Важіль</i>	4		
		5	<i>БР.ПМ-584.00.005</i>	<i>Призма</i>	1		
		6	<i>БР.ПМ-584.00.006</i>	<i>Планка</i>	4		
		7	<i>БР.ПМ-584.00.007</i>	<i>Призма</i>	1		
		8	<i>БР.ПМ-584.00.008</i>	<i>Втулка</i>	4		
		9	<i>БР.ПМ-584.00.009</i>	<i>Вісь</i>	4		
		10	<i>БР.ПМ-584.00.010</i>	<i>Палець</i>	4		
		11	<i>БР.ПМ-584.00.011</i>	<i>Вісь</i>	8		
		12	<i>БР.ПМ-584.00.012</i>	<i>Втулка</i>	4		
		13	<i>БР.ПМ-584.00.013</i>	<i>Станина</i>	4		
		14	<i>БР.ПМ-584.00.014</i>	<i>Упор</i>	1		
<i>Стандартні вироби</i>							
		15		<i>Болт М6Х40 ГОСТ7798-70</i>	20		
		16		<i>Болт М8Х50 ГОСТ7798-70</i>	6		
		17		<i>Гвинт М8Х30 ГОСТ1491-80</i>	8		
		18		<i>Гвинт М12Х40 ГОСТ1491-80</i>	4		
		19		<i>Кільце 1385-0025 ГОСТ1458-70</i>	8		
		20		<i>Кільце 1385-0012 ГОСТ1458-70</i>	8		
		21		<i>Штуцер 1247-0115 ГОСТ1842-80</i>	4		
<b>БР.ПМ-584.00.000</b>							
Изм.	Лист	№ докум.	Подп.	Дата			
Разраб.		Тимчук В. І.					
Пров.		Гнилиця І. Д.					
Реценз.							
Н.контр.		Гнилиця І. Д.					
Утв.		Панчук В.Г.					
<b>Верстатний пристрій</b>					Лит.	Лист	Листов
<i>(фрезерування шпонкового пазу)</i>						1	1
<b>ІФНТУНГ</b>							



✓ (✓)

БР.ПМ-584.00.000



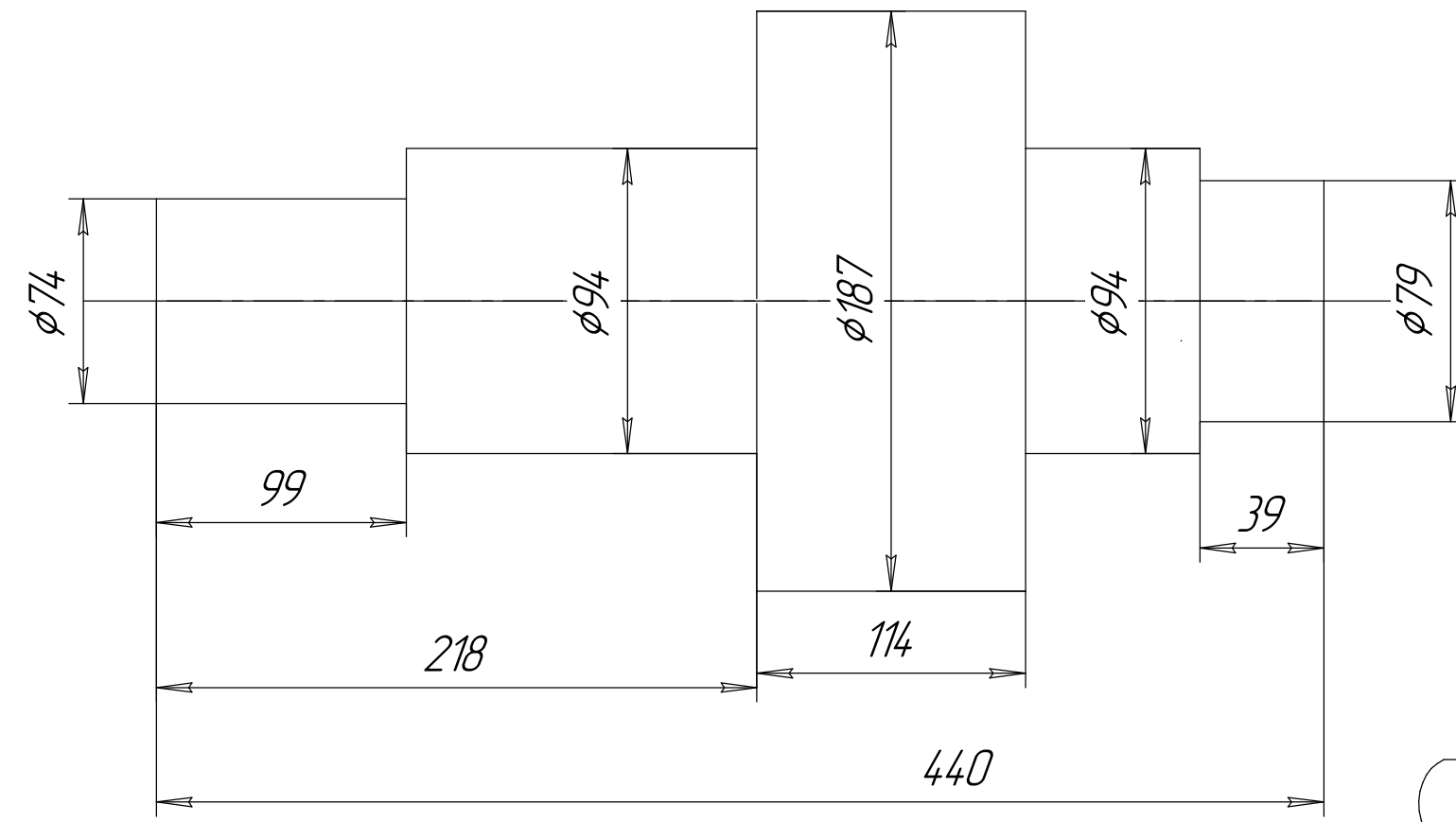
1. Максимальні допустимі радіуси заокруглень  $R = 2.8$
2. Максимальна допустима величина зміщення до  $0.18$
3. Максимальні допустимі відхилення від прямолінійності -  $0.4$
4. Кут штампувальних нахилів -  $5$
5. Допуск на радіуси заокруглень  $0.4$

Справ. №  
Перв. примен.

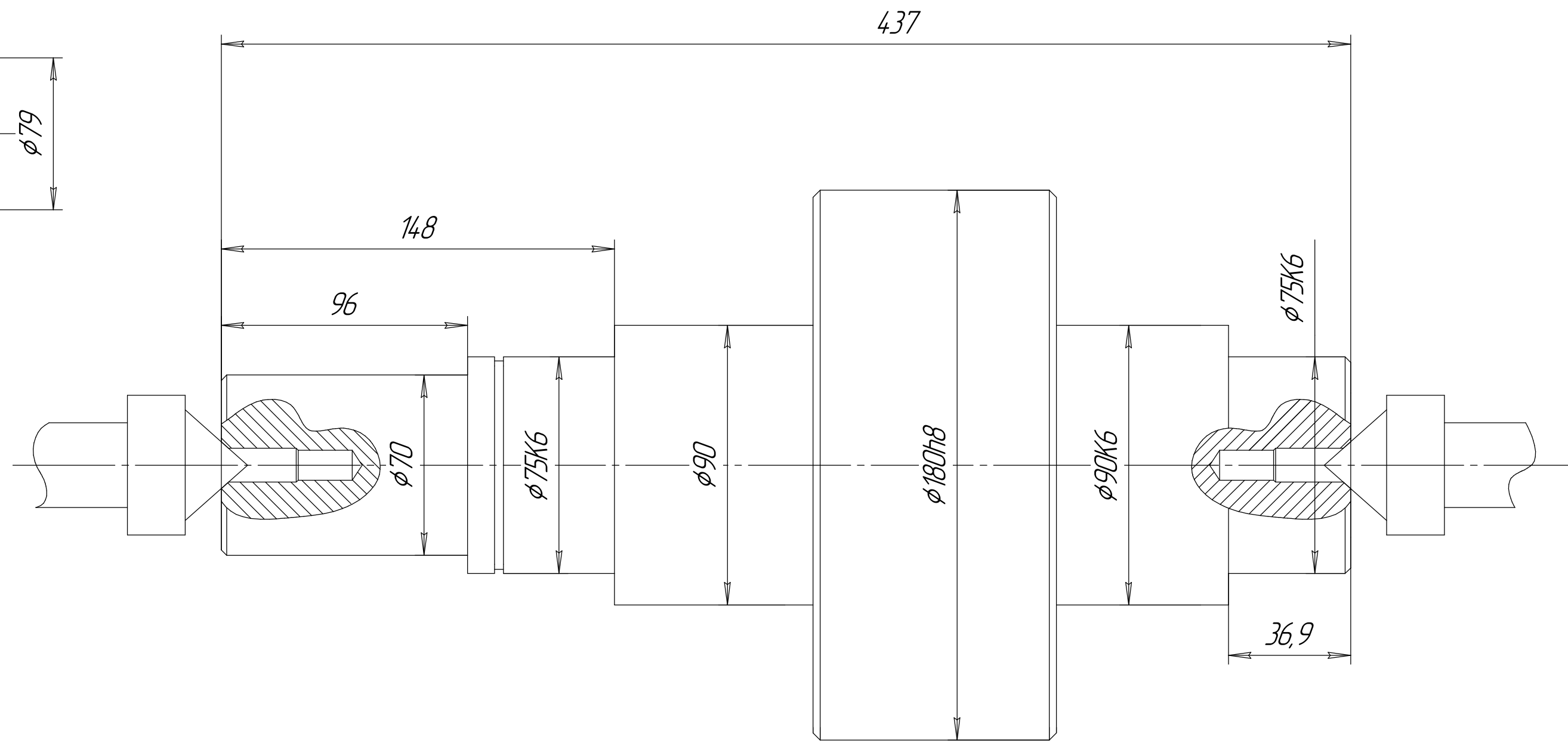
Инд. № подл.  
Подп. и дата  
Взам. инв. №  
Инд. № дубл.  
Подп. и дата

				<b>БР.ПМ-584.00.000</b>			
Изм. Лист	№ докум.	Подп.	Дата	<b>Заготовка (Штамповка)</b>	Лист	Масса	Масштаб
Разраб.	Тимчук В.І.					38.715	1:1
Пров.	Гнилиця І.Д.				Лист	Листов	1
Т.контр.	Гнилиця І.Д.				<b>ІФНТУНГ</b>		
Реценз.					Формат А3		
И.контр.	Гнилиця І.Д.			Сталь 40Х ДСТУ1050-88			
Утв.	Панчук В.Г.			Копировал			

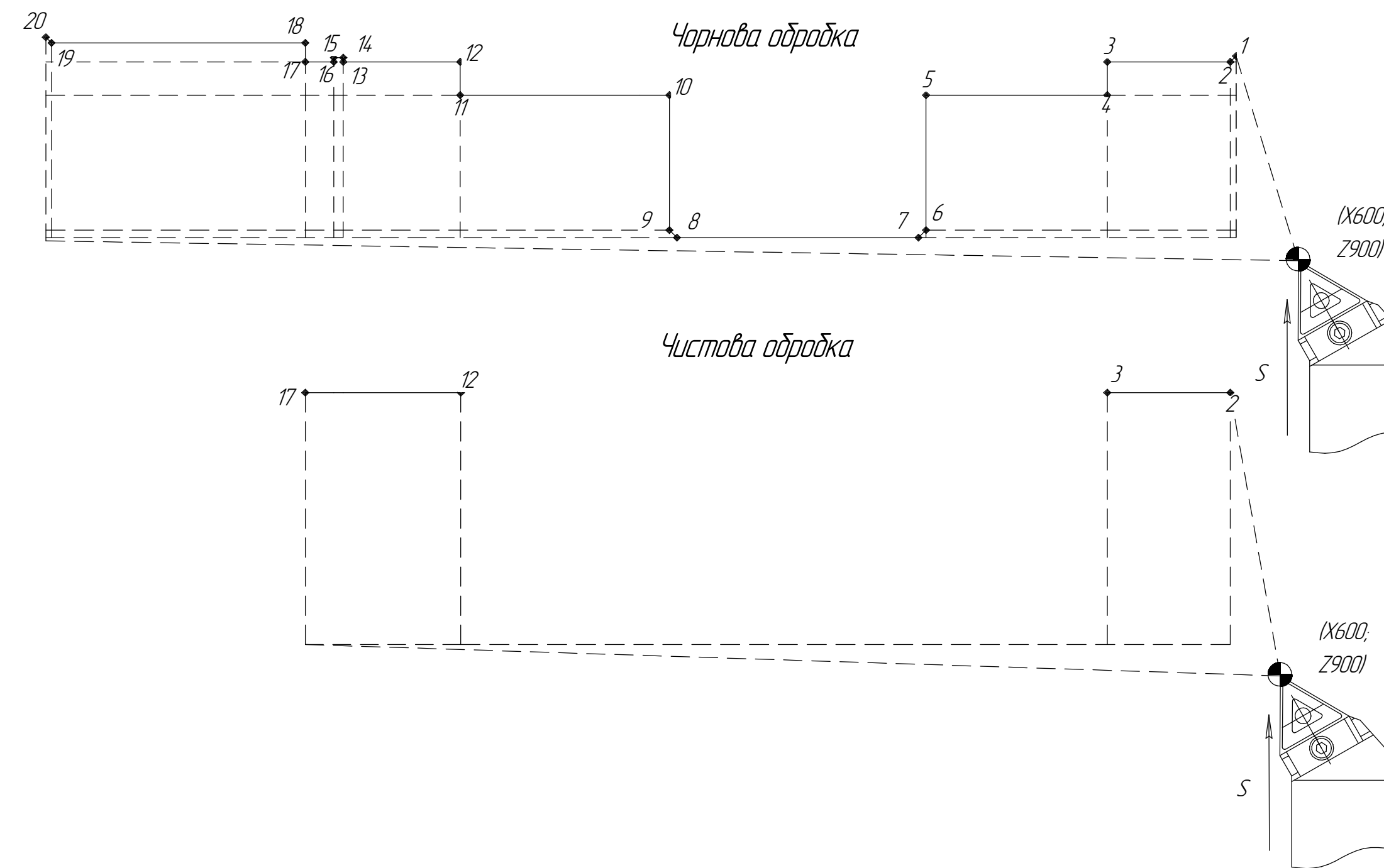
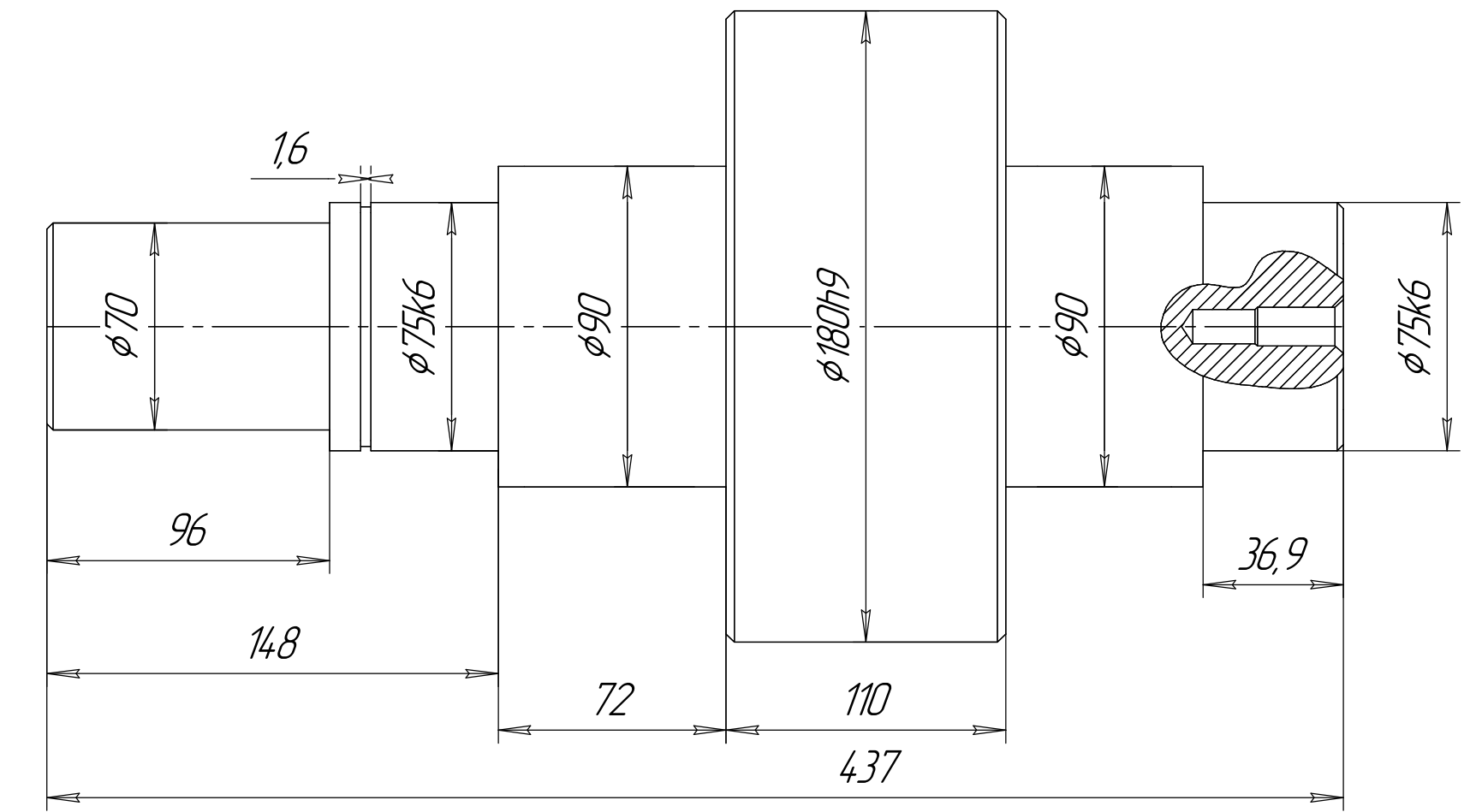
### Деталь до обробки



### Деталь підчас обробки



### Деталь після обробки

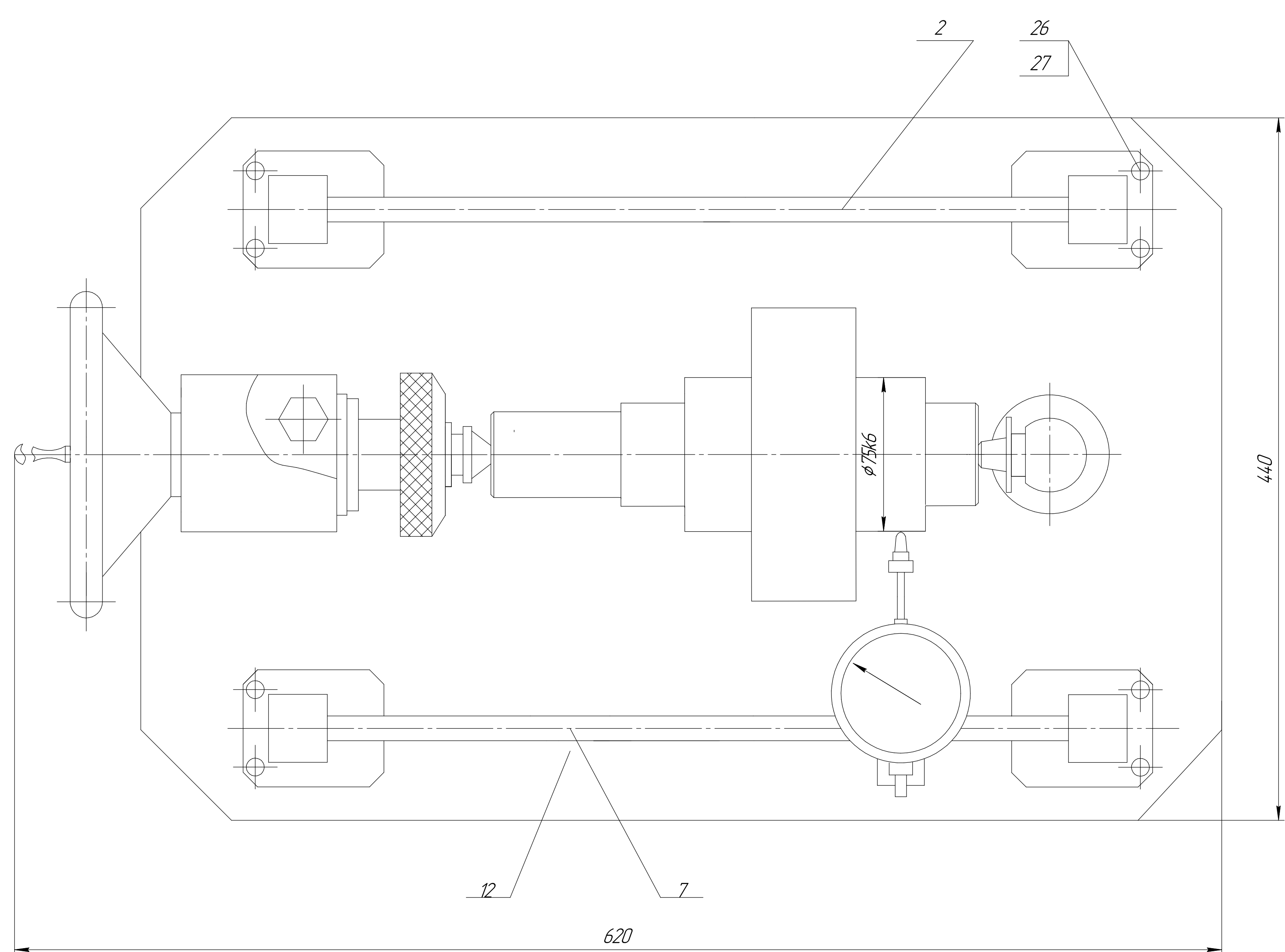
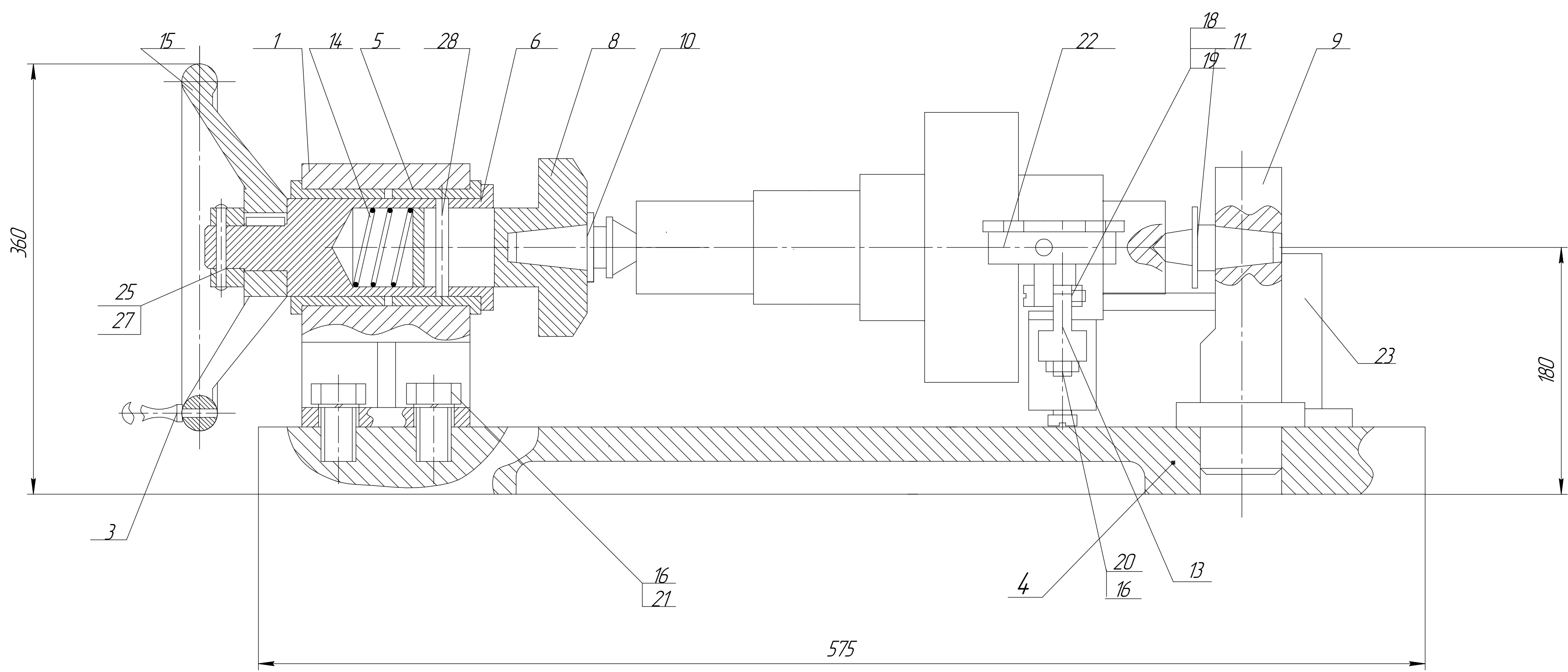


№	X	Z
1	35.5	0
2	37.5	-2
3	37.5	-36.9
4	45	-36.9
5	45	-107
6	87	-107
7	90	-110
8	90	-214
9	87	-217
10	45	-217
11	45	-289
12	37.5	-289
13	37.5	-325.9
14	36	-328.7
15	37.5	-328.7
16	37.5	-341
17	35	-341
18	35	-435
19	33.3	-437

015 Токарна ЧПК	Верстат Токарний ЧПК DMG CLX-350	Центри	Штангенциркуль ШЦ-I-125-01 ШЦ-III-250-710-01 ГОСТ 166-87, Микрометр							0,27	0,56	БР.ПМ-584.00.000		
			1	Резьб 2209-0048 ЛІСТУ 23549-80	2	120	160	580	Карта налагодки					
Найменування і короткий зміст операції.	Обладнання (тип і модель)	Пристрій і допоміжні інструменти	Вимірний інструмент	№ п/п на карті	Найменування і короткий зміст Ріжучий інструмент	f (мм)	S (мм/хв)	V (м/хв)	n (хв <sup>-1</sup> )	To (хв)	Td (хв)	Лист	Маса	Масштаб
												11		
												ІФНТУНГ гр. ПМ-23-ІК		11

Лист № докум. / Вид і дата / Вид № змін / Назв. шк. № / Вид № змін / Назв. шк. № / Вид № змін / Вид і дата / Вид № змін / Назв. шк. № / Вид № змін / Вид і дата



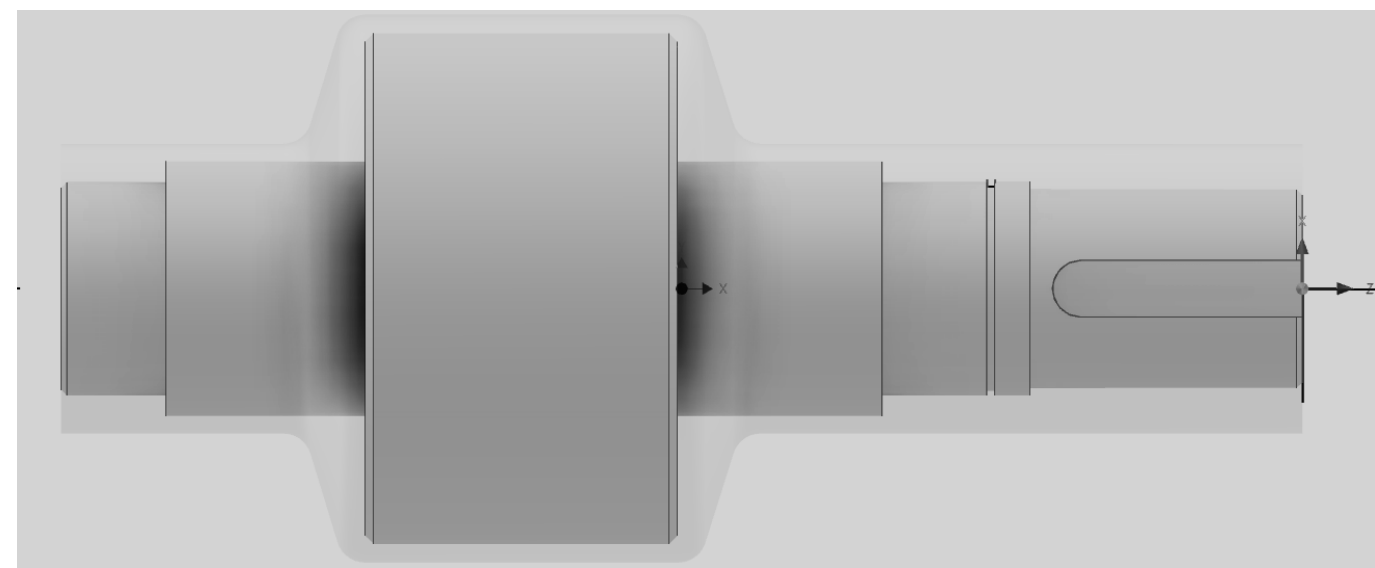


1. Пристрій для контролю радіального та торцевого діаметра деталей типу вал
2. Пристрій може поміщати до 6 індикаторів одночасно

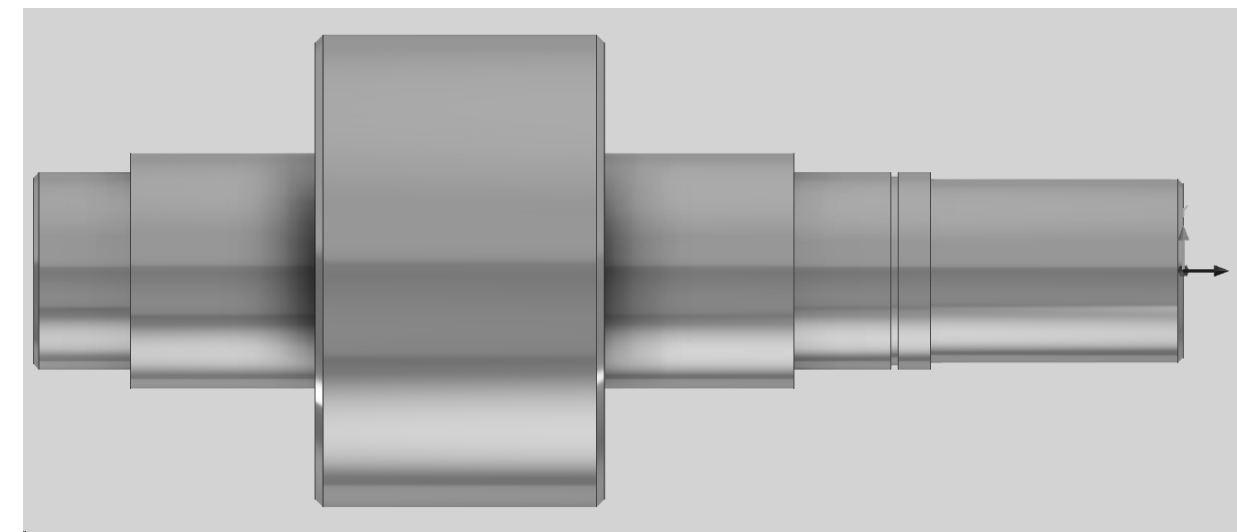
Перш друкує  
Сторінка №  
Лист №  
Взам. шифр №  
Лист №  
Лист №  
Лист №

				БР.ПМ.584.00.000		
				Пристрій контрольний		
Лист	Маса	Масштаб				
Н	-	1:1				
Лист 1		Листів 1				
				ІФНТУНГ		
				Формат А1		

# Візуалізація результату обробки деталі в операції O15

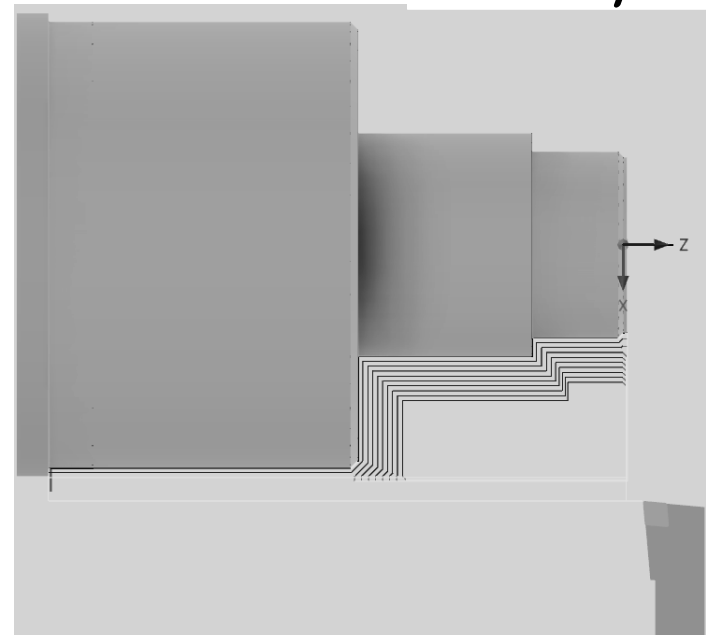


Заготовка (на вході)

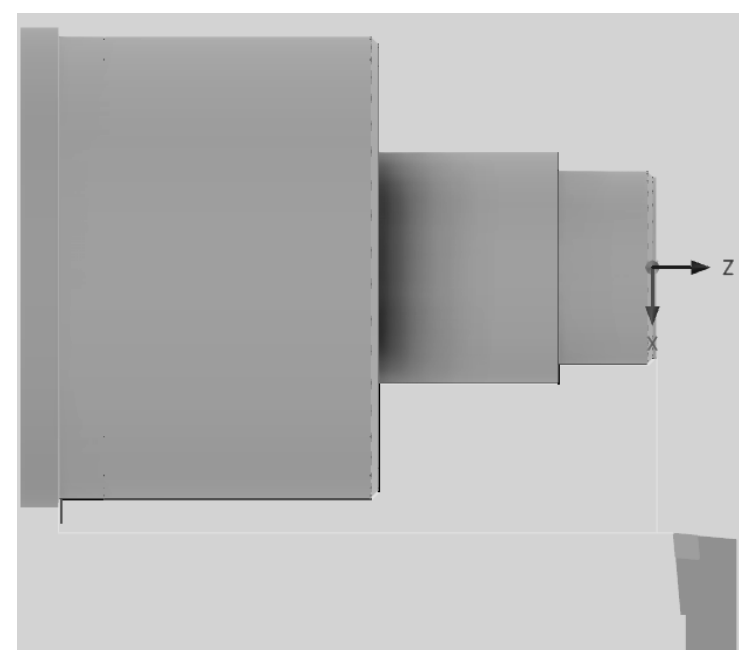


Деталь (на виході)

## Токарна обробка зправа

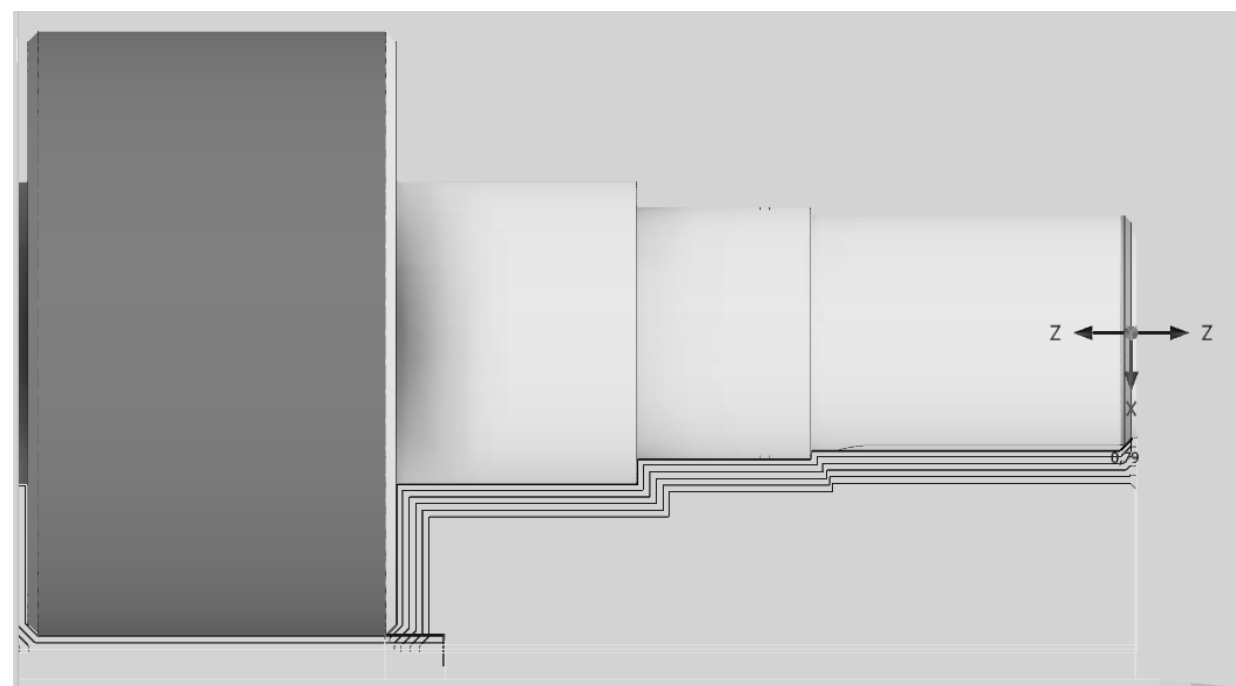


Траєкторія руху різального інструменту при чорновому точінні

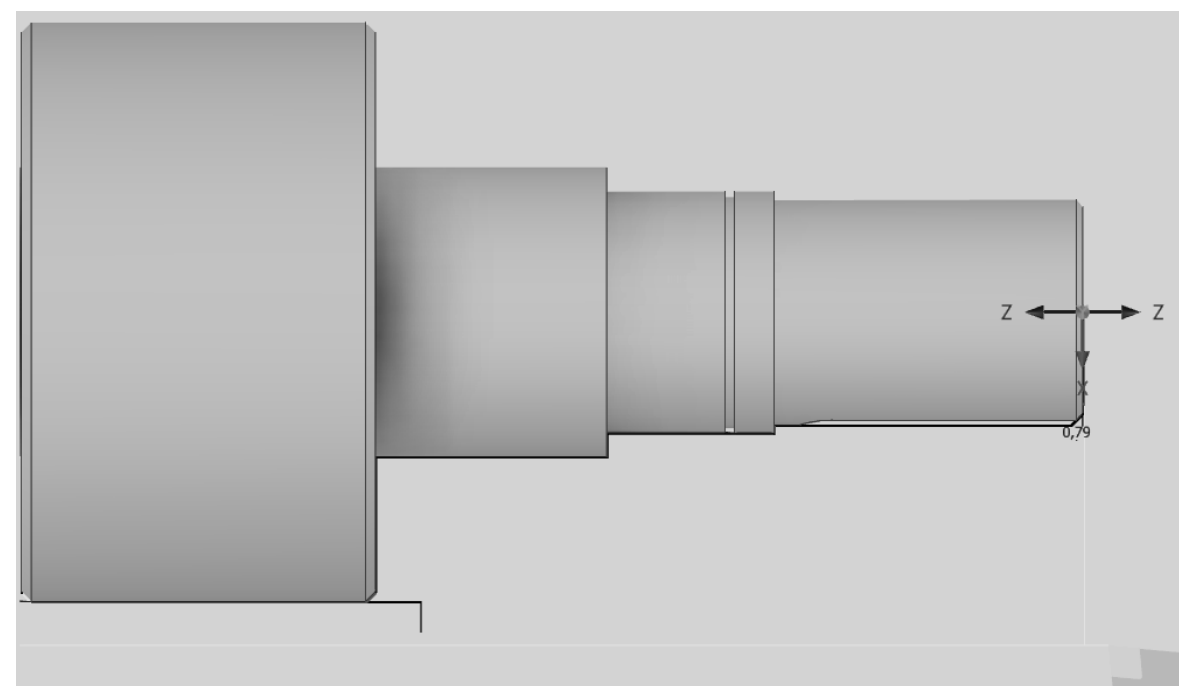


Траєкторія руху різального інструменту при чистовому точінні

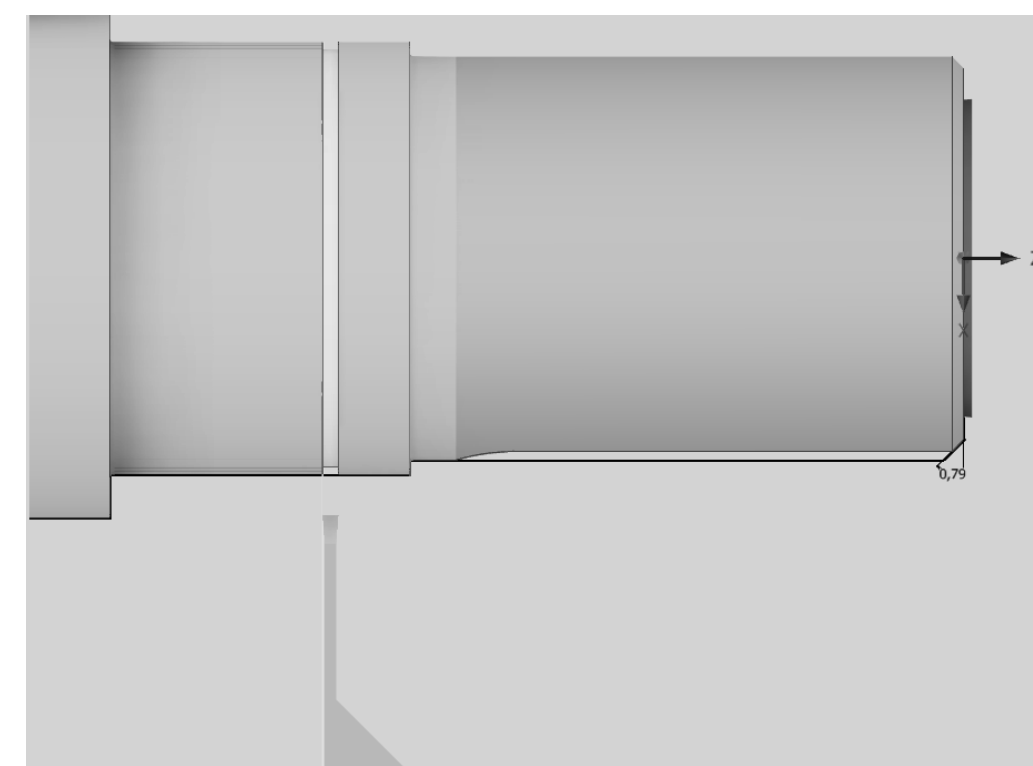
## Токарна обробка зліва



Траєкторія руху різального інструменту при чорновому точінні

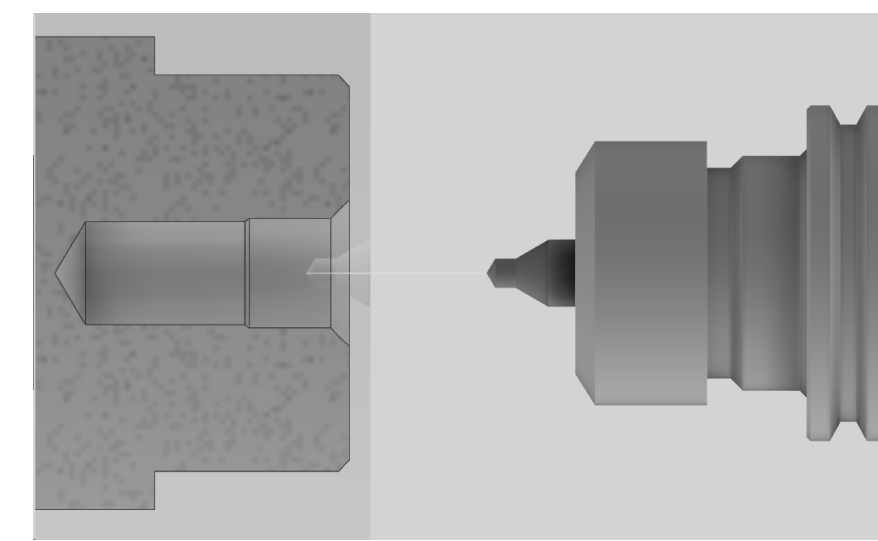


Траєкторія руху різального інструменту при чистовому точінні

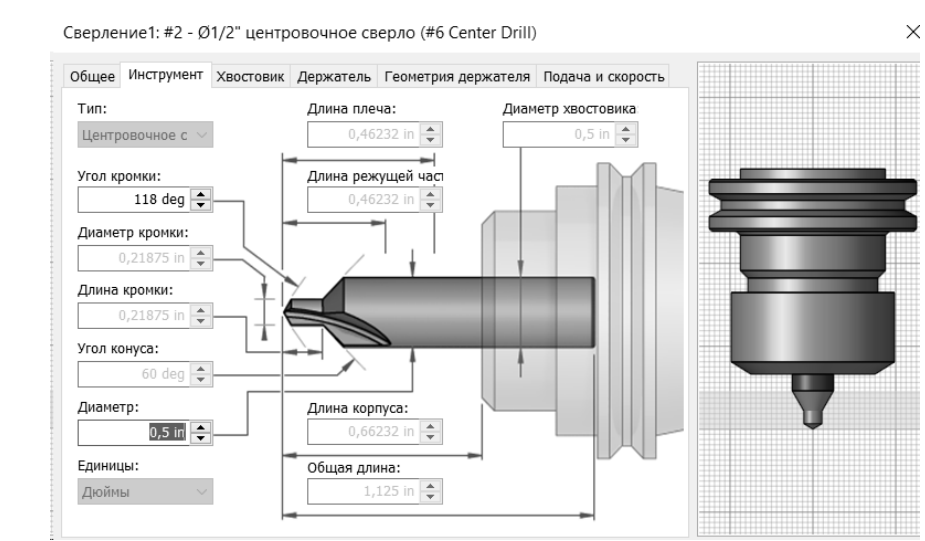


Траєкторія руху різального інструменту при обробці канавки 2,8 x 1,5 мм

## Послідовність обробки отвору

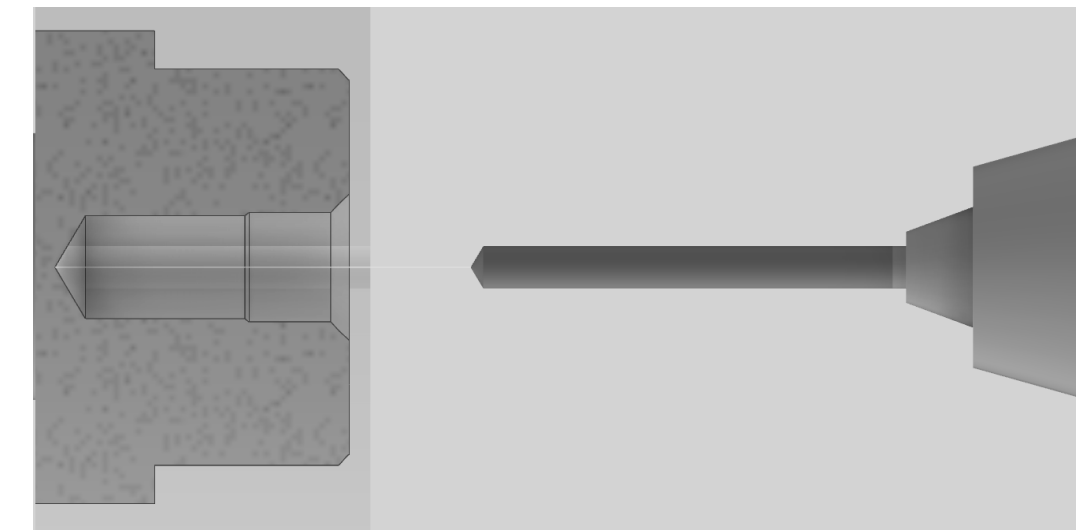


Траєкторія руху

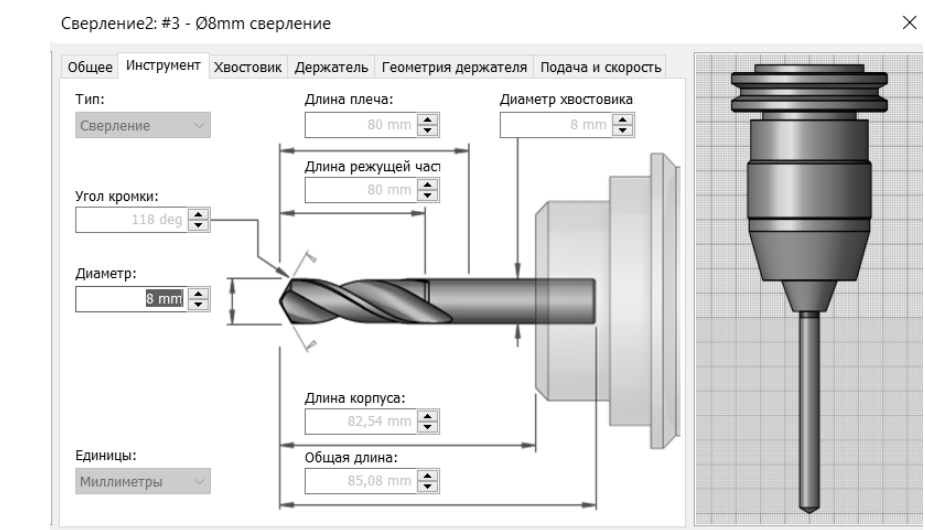


Геометрія різальної частини свердла

### Свердління центральним свердлом

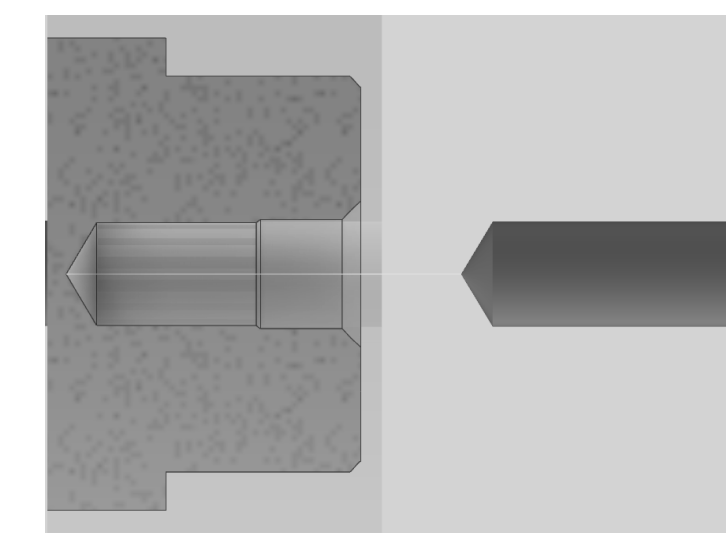


Траєкторія руху

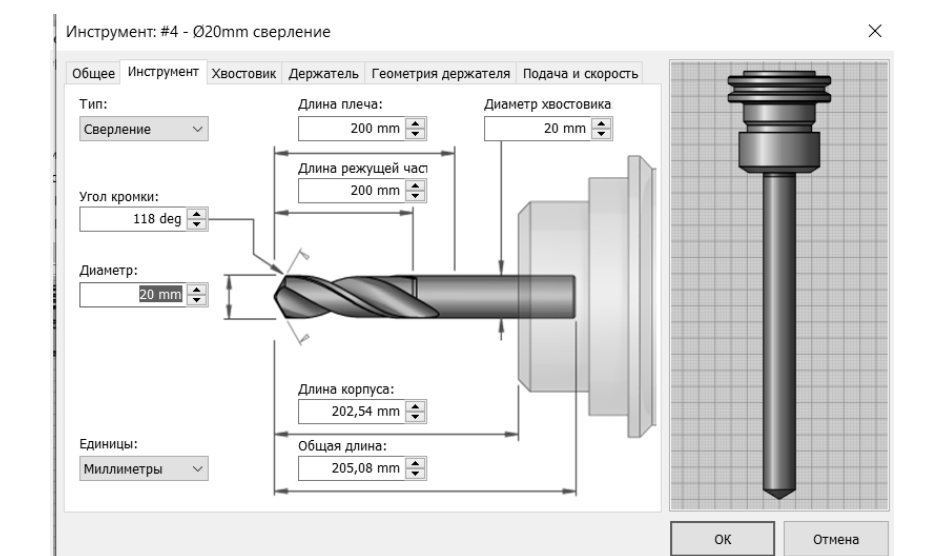


Геометрія різальної частини свердла

### Свердління отвору $\phi 8$ мм

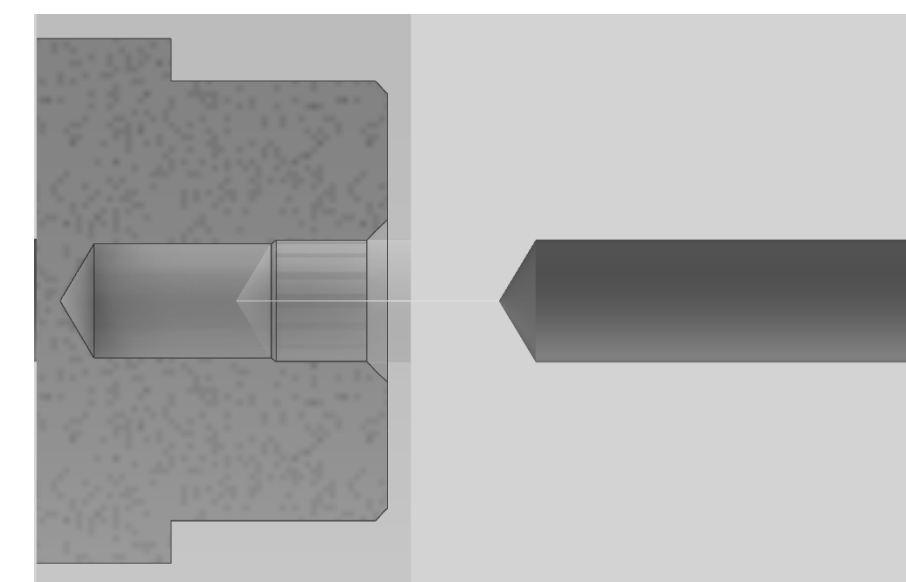


Траєкторія руху

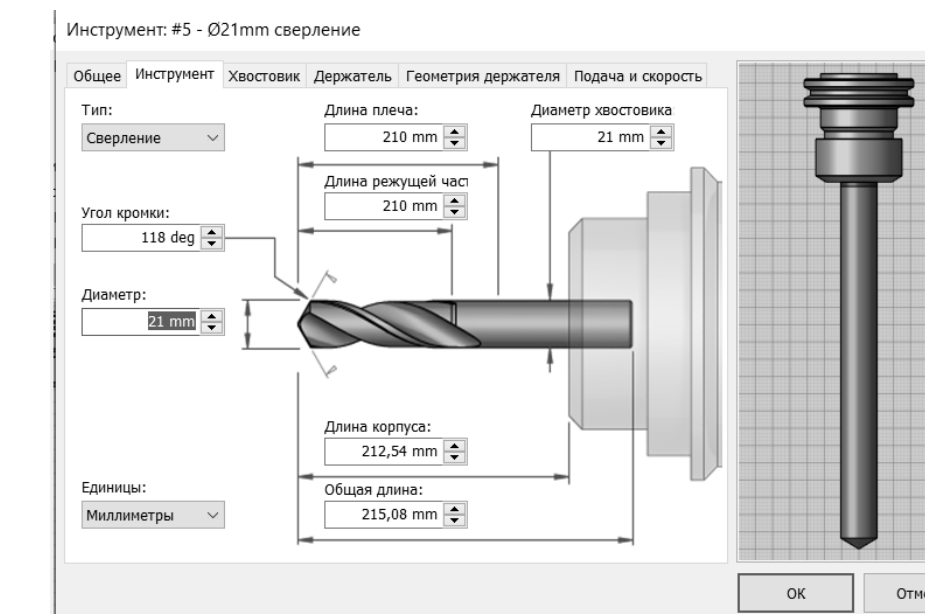


Геометрія різальної частини свердла

### Розсвердлення отвору до $\phi 20$ мм

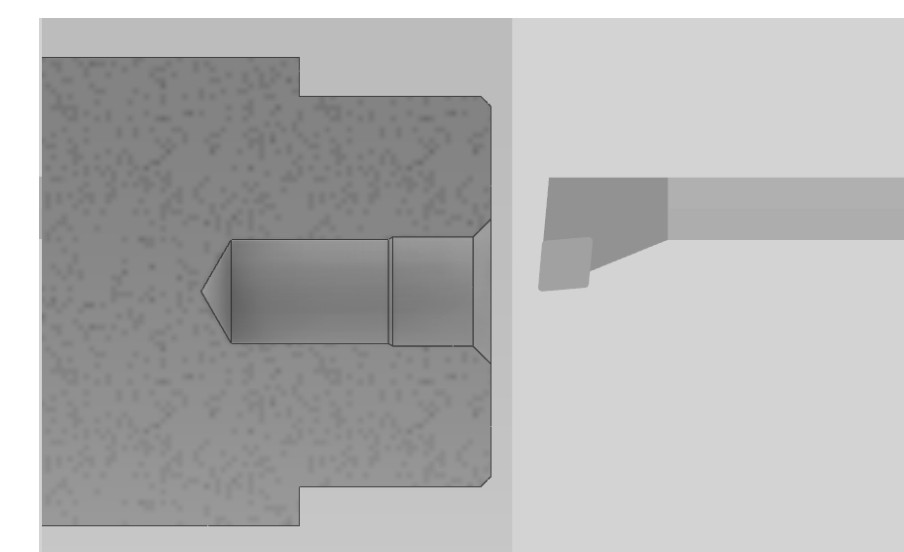


Траєкторія руху



Геометрія різальної частини свердла

### Розсвердлення отвору до $\phi 21$ мм на глибину 18,9 мм



Формування фаски 3,5x45°

				БР.ПМ-584.00.000		
Изм.	Лист	№ док.	Подп.	Дата	Лит	Масса
Разраб		Тимчук В.Г.				
Проб		Гнилиця І.Д.				1:1
Т.контр.		Гнилиця І.Д.			Лист	Листов 1
Н.контр.		Гнилиця І.Д.			ІФНТУНГ	
Утв.		Панчук В.Г.				

# Керуюча програма в середовищі постпроцесора Fanuc-Turning

%  
 O1001 (70)  
 M10 G98 G18  
 M11 G21  
 M12 G50 S6000  
 M13 G28 U0  
 M14 G28 W0

( 8)  
 N15 T0100  
 N16 G54  
 N17 M8  
 N18 G99  
 N19 G97 S141 M3  
 N20 G0 X207 Z8  
 N21 G50 S2000  
 N22 G96 S91 M3  
 N23 G0 Z118  
 N24 X115.028  
 N25 G1 X112.2 Z-0.234 F0.127  
 N26 Z-2148  
 N27 X127.2  
 N28 Z-88.2  
 N29 X187  
 N30 X189.828 Z-86.786  
 N31 G0 Z118  
 N32 X1110.28  
 N33 G1 X108.2 Z-0.234 F0.127  
 N34 Z-22.545  
 N35 X123.2  
 N36 Z-90.2  
 N37 X186.815  
 N38 X187 Z-90.293  
 N39 X191  
 N40 G0 Z118  
 N41 X107.028  
 N42 G1 X104.2 Z-0.234 F0.127  
 N43 Z-237  
 N44 X119.2  
 N45 Z-92.2  
 N46 X185.158  
 N47 X187 Z-93.121  
 N48 X191  
 N49 G0 Z118  
 N50 X103.028  
 N51 G1 X100.2 Z-0.234 F0.127  
 N52 Z-24.976  
 N53 X115.2  
 N54 Z-94.2  
 N55 X183.501  
 N56 X187 Z-95.95  
 N57 X191  
 N58 G0 Z118  
 N59 X99.028  
 N60 G1 X96.2 Z-0.234 F0.127  
 N61 Z-26.418  
 N62 X111.2  
 N63 Z-96.2  
 N64 X181.844  
 N65 X187 Z-98.778  
 N66 X191  
 N67 G0 Z118  
 N68 X95.028  
 N69 G1 X92.2 Z-0.234 F0.127  
 N70 Z-28.116

N71 X107.2  
 N72 Z-98.2  
 N73 X180.187  
 N74 X187 Z-101.606  
 N75 X191  
 N76 G0 Z118  
 N77 X910.28  
 N78 G1 X88.2 Z-0.234 F0.127  
 N79 Z-30.1  
 N80 X103.2  
 N81 Z-100.2  
 N82 X178.53  
 N83 X187 Z-104.435  
 N84 X191  
 N85 G0 Z1.766  
 N86 X83.942  
 N87 G1 Z-0.234 F0.127  
 N88 X84.2 Z-0.363  
 N89 Z-32.1  
 N90 X99.2  
 N91 Z-102.2  
 N92 X176.874  
 N93 X187 Z-107.263  
 N94 X191  
 N95 G0 Z1.766  
 N96 X78.285  
 N97 G1 Z-0.234 F0.127  
 N98 X80.2 Z-1.192  
 N99 Z-34.1  
 N100 X95.2  
 N101 Z-104.2  
 N102 X175.217  
 N103 X185.2 Z-109.192  
 N104 Z-231.837  
 N105 G0 X189.2  
 N106 Z1.766  
 N107 X72.628  
 N108 G1 Z-0.234 F0.127  
 N109 X76.2 Z-2.02  
 N110 Z-36.1  
 N111 X91.2  
 N112 Z-106.2  
 N113 X173.56  
 N114 X181.2 Z-110.02  
 N115 Z-231.837  
 N116 X185.2  
 N117 G0 X207  
 N118 Z8  
 N119 G97 S141 M3

( 9)  
 N120 G99  
 N121 G97 S141 M3  
 N122 G0 X207 Z8  
 N123 G50 S2000  
 N124 G96 S91 M3  
 N125 G0 Z1766  
 N126 X70.531  
 N127 G1 Z-0.234 F0.127  
 N128 X75 Z-2.469  
 N129 Z-36.9  
 N130 X90  
 N131 Z-107  
 N132 X173.063  
 N133 X180 Z-110.469  
 N134 Z-231.837  
 N135 X184  
 N136 G0 X207  
 N137 Z8  
 N138 G97 S141 M3

( 10)  
 N139 G99  
 N140 G97 S141 M3  
 N141 G0 X207 Z8  
 N142 G50 S2000  
 N143 G96 S91 M3  
 N144 G0 Z118  
 N145 X92.828  
 N146 G1 X90 Z-0.234 F0.127  
 N147 Z-89.386  
 N148 X95  
 N149 Z-138.318  
 N150 X110  
 N151 Z-210  
 N152 X181.347  
 N153 X187 Z-212.826  
 N154 X191  
 N155 G0 Z1.766  
 N156 X85.056  
 N157 G1 X85.055 Z-0.234 F0.127  
 N158 X86 Z-0.707  
 N159 Z-90.191  
 N160 X91  
 N161 Z-140.016  
 N162 X106  
 N163 Z-212  
 N164 X179.69  
 N165 X187 Z-215.655  
 N166 X191  
 N167 G0 Z1.766  
 N168 X79.399  
 N169 G1 Z-0.234 F0.127  
 N170 X82 Z-1.535  
 N171 Z-91.127  
 N172 X87  
 N173 Z-14.2  
 N174 X102  
 N175 Z-214  
 N176 X178.033  
 N177 X187 Z-218.483  
 N178 X191  
 N179 G0 Z1.766  
 N180 X73.742  
 N181 G1 Z-0.234 F0.127  
 N182 X78 Z-2.363  
 N183 Z-92.292  
 N184 X83  
 N185 Z-14.4  
 N186 X98  
 N187 Z-216  
 N188 X176.376  
 N189 X185.188 Z-220.406  
 N190 X189.188  
 N191 G0 Z1.766  
 N192 X68.085  
 N193 G1 Z-0.234 F0.127  
 N194 X74 Z-3.192  
 N195 Z-94  
 N196 X79  
 N197 Z-146  
 N198 X94  
 N199 Z-218  
 N200 X174.72  
 N201 X182.36 Z-221.82  
 N202 X186.36  
 N203 G0 Z1.766  
 N204 X62.428  
 N205 G1 Z-0.234 F0.127  
 N206 X70 Z-4.02

N207 Z-96  
 N208 X75  
 N209 Z-14.8  
 N210 X90  
 N211 Z-220  
 N212 X173.063  
 N213 X179.531 Z-223.234  
 N214 X183.531  
 N215 G0 X207  
 N216 Z8  
 N217 G97 S141 M3

( 11)  
 N218 G99  
 N219 G97 S141 M3  
 N220 G0 X207 Z8  
 N221 G50 S2000  
 N222 G96 S91 M3  
 N223 G0 Z0.614  
 N224 X57.828  
 N225 G1 X55 Z-0.8 F0.127  
 N226 Z-88  
 N227 X70  
 N228 Z-96  
 N229 X75  
 N230 Z-109.135  
 N231 X74.608 Z-111.375  
 N232 X75  
 N233 Z-14.8  
 N234 X90  
 N235 Z-220  
 N236 X173.063  
 N237 X180 Z-223.469  
 N238 Z-327.835  
 N239 X160.746 Z-437.87  
 N240 X164.762  
 N241 G0 X207  
 N242 Z8  
 N243 G97 S141 M3  
 N244 M9  
 N245 G28 U0  
 N246 G28 W0

(1)  
 N247 M1  
 N248 T0700  
 N249 G54  
 N250 M8  
 N251 G99  
 N252 G97 S141 M3  
 N253 G0 X207 Z8  
 N254 G50 S2000  
 N255 G96 S91 M3  
 N256 G0 Z-111.08  
 N257 X93  
 N258 G1 X89 F0.127  
 N259 X72.386  
 N260 X93  
 N261 G0 Z-111.1  
 N262 G1 X89 F0.127  
 N263 X72.386  
 N264 X74.386  
 N265 G0 X207  
 N266 Z8  
 N267 G97 S141 M3

(1)  
 N268 M9  
 N269 G28 U0  
 N270 G28 W0  
 N271 M30  
 %

					БР.ПМ-584.00.000		
					Програма на ЧПК		
					Лист 1		
					Листов 1		
					ІФНТУНГ		
					Формат А1		

Лист 1 з 1  
 Сторінка №  
 Лист 1 з 1  
 Лист 1 з 1  
 Лист 1 з 1  
 Лист 1 з 1